

## Мәселелер хәм олардың шешимлери

### 1-мәселе. Итималлықтың сақланыуы нызамы

$\psi^* \psi d^3x$  аңлатпасы  $d^3x$  көлеміндеги бөлекшени табыудың итималлығына тең етип алынатуғын

$$\int \psi^* \psi d^3x = 1 \quad (1.1)$$

нормировка шәртиниң итималлық бойынша интерпретациясы сақланыу нызамына сөзсиз алып келеди. Бул нызамды хәм классикалық көз-қарасларда турып алынған нәтийжелердиң мүмкин болған интерпретациясын табыңыз.

Шешими. Биз излеп атырған сақланыу нызамы

$$\frac{\partial \rho}{\partial t} + \operatorname{div} \mathbf{s} = 0 \quad (1.2)$$

үзликсизлик теңлемеси түрине ийе болыуы керек. Бул аңлатпада

$$\rho = \psi^* \psi \quad (1.3)$$

арқалы итималлық тығызлығы, ал  $\mathbf{s}$  арқалы итималлық тоғының тығызлығы белгиленген.  $\rho$  шамасы  $\psi$  хәм  $\psi^*$  шамаларына қарата бисызықлы форма (билинейная форма) болғанлықтан (1.2)-теңлемени еки жағдайда да бир

$$H = -\frac{\hbar^2}{2m} \nabla^2 + V(\mathbf{r}) \quad (1.4)$$

гамильтонианға ийе еки Шредингер теңлемесиниң комбинациясының нәтийжесінде алыу мүмкин:

$$H\psi = -\frac{\hbar}{i} \frac{\partial \psi}{\partial t}, \quad H\psi^* = \frac{\hbar}{i} \frac{\partial \psi^*}{\partial t}. \quad (1.5)$$

Солай етип

$$\psi^* H\psi - \psi H\psi^* = -\frac{\hbar}{i} \frac{\partial \rho}{\partial t}$$

теңлемесин аламыз. (1.2)-аңлатпаға сәйкес бул қатнастың шеп тәрепи дивергенция түрінде жазылыуы керек. Хәқыйқатында да

$$\psi^* H\psi - \psi H\psi^* = -\frac{\hbar^2}{2m} (\psi^* \nabla^2 \psi - \psi \nabla^2 \psi^*) = -\frac{\hbar^2}{2m} \operatorname{div} (\psi^* \nabla \psi - \psi \nabla \psi^*)$$

Сонлықтан  $\mathbf{s}$  векторы ушын

$$\mathbf{s} = \frac{\hbar}{2mi} (\psi^* \nabla \psi - \psi \nabla \psi^*) \quad (1.6)$$

аңлатпасын жаза аламыз.

Алынған нәтижеге классикалық интерпретация беріу үшін төмендегідей таллауларды өткереміз.

Егер  $\rho$  шамасын да,  $s$  шамасын да  $m$  массаға көбейтсек, онда нәтижеде биз массаның тығызлығы  $\rho_m$  ди хәм импульс тығызлығы  $\mathbf{g}$  ны аламыз:

$$\rho_m = m\rho, \quad \mathbf{g} = m\mathbf{s}. \quad (1.7)$$

Бундай жағдайда үзликсизлік теңлемесин массаның сақланыу нызамы сыпатында интерпретациялау (түсіндириу) мүмкін. Тап усындай жоллар менен бөлекшениң заряды  $e$  ге көбейтип зарядтың тығызлығы  $\rho_e$  ге хәм электр тоғының тығызлығы  $j$  ге келемиз:

$$\rho_e = e\rho, \quad j = es. \quad (1.8)$$

Ал (1.2)-теңлеме зарядтың сақланыу нызамына айланады.

Массаның сақланыу нызамының хәм зарядтың сақланыу нызамына уқсас екенлиги дыққатқа ылайық. Себеби олардың екеуі де бир бөлекшениң конвекциялық тоғы менен байланысly.

(1.6)-хәм (1.7)-аңлатпалардан алынған Шредингер майданының толық импульси ушын жазылған

$$\mathbf{p} = \int \mathbf{g} d^3x = \frac{\hbar}{2i} \int (\psi^* \nabla \psi - \psi \nabla \psi^*) d^3x$$

аңлатпасын екінши қосылыушыны бөлеклеп интеграллаудың жәрдеминде

$$\mathbf{p} = \int \psi^* \left( \frac{\hbar}{i} \nabla \right) \psi d^3x \quad (1.9)$$

түрине алып келиуіге болады. Бул  $\psi$  квантлық халдағы  $(\hbar/i) \nabla$  импульс операторының орташа мәнісине берілген анықлама менен сәйкес келеді (3-мәселеге қараңыз).

## 2-мәселе. Шредингердің вариациялық принципі

$$-\frac{\hbar^2}{2m} \nabla^2 \psi + V(\mathbf{r}) \psi = E\psi \quad (2.1)$$

Шредингер теңлемесин энергия ушын вариациялық принцип пенен алмастырыңыз.

Шешими. (2.1)-дифференциаллық теңлемениң қәлеген  $\psi$  шешими байланыс теңлемесин қанаатландырады (бул дискрет спектр халлары ушын дурыс):

$$\int \psi^* \psi d^3x = 1. \quad (2.2)$$

Сонлықтан энергия ушын аңлатпа (2.1)-теңлемени  $\psi^*$  функциясына көбейтиу хәм буннан кейин барлық кеңіслік бойынша интеграллау жолы менен алынады:

$$E = \int \psi^* \left[ -\frac{\hbar^2}{2m} \nabla^2 \psi + V(\mathbf{r}) \psi \right] d^3x. \quad (2.3)$$

Грин формуласын есапқа алып биринши ағзаны бөлеклерге бөліп интеграллау

$$\int \psi^* \nabla^2 \psi d^3x = \oint \psi^* \nabla \psi df - \int (\nabla \psi^*) \cdot (\nabla \psi) d^3x \quad (2.4)$$

аңлатпасын береді. Егер  $\psi$  шешими үлкен  $r$  қашықтықтарында

$$\psi \sim r^{-\frac{3}{2}-\varepsilon}, \quad \varepsilon > 0$$

аңлатпасына салыстырғанда әстерек киширейетуғын болса ғана (2.2)-нормировкалаушы интеграл бар болады. Бірақ бул шәрт орынланғанда шексіз қашықталатын сфераның бети бойынша алынған (2.4) теги интеграл жоғалады. Сонлықтан (2.3)-аңлатпаны былайынша жаза аламыз

$$E = \int \left[ \frac{\hbar^2}{2m} (\nabla \psi^*) \cdot (\nabla \psi) + \psi^* V(r) \psi \right] d^3x. \quad (2.5)$$

Бул теңлік  $\psi$  хәм  $\psi^*$  функцияларына қарата да, (2.2)-нормировка шәртіне қарата да симметриялы. Сонлықтан биз оны тап сондай табыс пенен (2.1)-теңлемеге комплексли түйінлес болған

$$-\frac{\hbar^2}{2m} \nabla^2 \psi^* + V(r) \psi^* = E \psi^* \quad (2.1a)$$

теңлемесинен де алған болар едик.

(2.1)- хәм (2.1a) теңлемелердің (2.2) байланысы бар болған жағдайлар ушын (2.5)-интегралдың экстремумы хаққындағы вариациялық мәселе ушын Эйлер теңлемеси екенлигин көрсетиу қыйын емес. Бірақ биз вариациялық есаплау аппаратынан пайдаланбаймыз, ал туұрыдан-туұры дәлиллейді қолланамыз.

Мейли  $\psi_\lambda$  арқалы  $E_\lambda$  меншикли мәнисине тийисли (2.1)-дифференциаллық теңлемениң шешими болсын. Бул теңleme (2.5)-интегралға  $E_\lambda$  ниң мәнисин береді. Енди  $\psi_\lambda$  функциясын оған жақын болған  $\psi_\lambda + \delta\psi$  функциясы менен алмастырамыз. Бул жерде  $\delta\psi$  арқалы киши, бірақ ықтыярлы вариация белгиленген. Егер (2.2)-шәртти  $\psi_\lambda + \delta\psi$  функциясы да  $\psi_\lambda$  функциясы қанаатландыратуғындай дәрежеде қанаатландырады деп есапламасақ, онда

$$\int (\psi_\lambda^* + \delta\psi^*) (\psi_\lambda + \delta\psi) d^3x = 1$$

хәм усыған сәйкес

$$\int (\psi_\lambda \delta\psi^* + \psi_\lambda^* \delta\psi) d^3x + \int (\delta\psi^* \delta\psi) d^3x = 0. \quad (2.6)$$

$\psi_\lambda + \delta\psi$  функциясын (2.5)-интегралға қойғаннан кейин энергия ушын  $E_\lambda + \delta E_\lambda$  аңлатпасын аламыз. Бул жерде

$$\begin{aligned} \delta E_\lambda = \int \left\{ \frac{\hbar^2}{2m} [(\nabla \psi_\lambda^*) \cdot (\nabla \delta\psi) + (\nabla \psi_\lambda) \cdot (\nabla \delta\psi^*)] + V(\psi_\lambda \delta\psi^* + \psi_\lambda^* \delta\psi) \right\} d^3x + \\ + \int \left[ \frac{\hbar^2}{2m} (\nabla \delta\psi^*) \cdot (\nabla \delta\psi) + V \delta\psi^* \delta\psi \right] d^3x. \end{aligned} \quad (2.7)$$

Бул аңлатпада биринши қатарда кишилиги бойынша биринши, ал екінши қатарда екінши тәртіптегі ағзалар жыйналған. Бурын бөлекке бөліп интеграллауларды орынлаған едик. Енди де бөлеклерге бөліп, бірақ қарама-қарсы

бағытта интегралласақ биз биринши қатарда  $\delta\psi \nabla^2 \psi_\lambda^*$  хәм  $\delta\psi^* \nabla^2 \psi_\lambda$  аңлатпаларына, ал буннан кейин туўындылардан қутылыў ушын (2.1)- хәм (2.1а)-теңлемелерден пайдаланыўымыз мүмкин. Усының нәтийжесинде

$$\int \left[ \frac{\hbar^2}{2m} (\nabla \psi_\lambda^*) \cdot (\nabla \delta\psi) + V \psi_\lambda^* \delta\psi \right] d^3x = E_\lambda \int \delta\psi \psi_\lambda^* d^3x$$

аңлатпасына ийе боламыз. Сонлықтан, егер (2.7)-теңликти есапқа алатуғын болсақ, онда (2.7)-қатнастың биринши қатары кишилиги бойынша екінши тәртипли үлес береді:

$$\delta E_\lambda = \int \left[ \frac{\hbar^2}{2m} |\nabla \delta\psi|^2 + (V - E_\lambda) |\delta\psi|^2 \right] d^3x. \quad (2.8)$$

Бизде  $\delta\psi$  ямаса  $\delta\psi^*$  бойынша сызықлы ағзалар қалмағанлықтан  $E_\lambda$  энергиясы Шредингер теңлемесиниң щешимлери болған  $\psi_\lambda$  лер ушын  $\delta\psi = 0$  болған жағдайда минимумға ямаса максимумға ийе болады. Экстремумның неден ибарат екенлиги – максимум бе ямаса минимум ба екенлиги (2.8)-аңлатпаның белгисинен ғәрезли болады.

Бул мәселени тереңирек түсиниў ушын (2.1)-теңлемениң шешимлериниң жыйнағы болған  $\{\psi_\lambda\}$  функцияларынан пайдаланамыз хәм олардан функциялардың ортогоналлық системасын дүземиз:

$$\int \psi_\mu^* \psi_\nu d^3x = \delta_{\mu\nu}. \quad (2.9)$$

Енди функциялардың бул системасы бойынша  $\delta\psi$  диң вариациясын жаямыз:

$$\delta\psi = \sum_\nu c_\nu \psi_\nu. \quad (2.10)$$

Бундай жағдайда (2.8)-теңлик

$$\begin{aligned} \delta E_\lambda &= \sum_\mu \sum_\nu c_\mu^* c_\nu \int \left[ \frac{\hbar^2}{2m} (\nabla \psi_\mu^*) \cdot (\nabla \psi_\nu) + (V - E_\lambda) \psi_\mu^* \psi_\nu \right] d^3x = \\ &= \sum_\mu \sum_\nu c_\mu^* c_\nu \int \left[ -\frac{\hbar^2}{2m} \nabla^2 \psi_\nu + (V - E_\lambda) \psi_\nu \right] \psi_\mu^* d^3x \end{aligned}$$

түрине ямаса (2.9) бенен (2.1) ди есапқа алсақ

$$\delta E_\lambda = \sum_\mu |c_\mu|^2 (E_\mu - E_\lambda) \quad (2.11)$$

түрине ийе болады. Егер  $E_\lambda$  энергиясы тийкарғы халға тийисли болса, онда барлық  $\psi_\mu$  халлары ушын  $E_\mu \geq E_\lambda$  хәм вариациялық принцип  $E_\lambda$  ушын минимумды береді. Себеби (2.11)-сумма оң мәниске ийе. Қозған халлар ушын бундай улыўмалық қағыйданы келтирип шығарыўға болмайды. Себеби бундай жағдайда (2.11)-суммада оң мәнисли де, терис мәнисли де қосылыўшылар бар болады.

### 3-мәселе. Кеңисликлик орташалар ушын классикалық механика

Кеңисликлик орташалар (математикалық күтиўлер) ушын классикалық ньютонлық механиканың тийкарғы теңлемеси болған

$$\frac{dp}{dt} = F \quad (3.1)$$

теңлемесиниң квантлық механикада да орын алатуғынлығын көрсетиңиз. Бул формулаларда  $\mathbf{p}$  импульсти, ал  $\mathbf{F}$  күшти аңғартады.

**Шешими:** Мейли  $\mathbf{F}$  күши потенциал  $\mathbf{F} = -\nabla V$  потенциал арқалы аңлатылатуғын, ал  $\mathbf{p}$  импульс  $(\hbar/i) \nabla$  операторы менен алмастырылған болсын. Бизди қызықтыратуғын орташалар

$$\mathbf{p} = \frac{\hbar}{i} \int \psi^* \nabla \psi d^3x, \quad (3.2)$$

$$\mathbf{F} = - \int \psi^* (\nabla V) \psi d^3x \quad (3.3)$$

теңликлериниң жәрдемінде анықланады. Бизиң алдымызда турған мәселе егер  $\psi$  хәм  $\psi^*$  функциялары

$$\begin{aligned} -\frac{\hbar}{i} \frac{\partial \psi}{\partial t} &= -\frac{\hbar^2}{2m} \nabla^2 \psi + V\psi, \\ +\frac{\hbar}{i} \frac{\partial \psi^*}{\partial t} &= -\frac{\hbar^2}{2m} \nabla^2 \psi^* + V\psi^* \end{aligned} \quad (3.4)$$

Шредингер теңлемесин қанаатландыратуғын болса (3.2)- хәм (3.3)-интеграллардың (3.1)-теңлемени қанаатландыратуғынлығын анықлаўдан ибарат.

Дәлиллеўди биз (3.2)-аңлатпаны ўақыт бойынша дифференциаллаўдан баслаймыз:

$$\dot{\mathbf{p}} = \frac{\hbar}{i} \int (\dot{\psi}^* \nabla \psi + \psi^* \nabla \dot{\psi}) d^3x = \frac{\hbar}{i} \int (\dot{\psi}^* \nabla \psi - \dot{\psi} \nabla \psi^*) d^3x. \quad (3.5)$$

Биз жоқарыда екінши қосылыўшыны бөлеклерге бөлип интеграллағанда пайда болатуғын бетлик интегралдың үлесиниң нолге тең екенлигин хәм сонлықтан оны қалдырып кетиўге болатуғынлығын есапқа алдық. Бул жерде (3.4)-теңлемелердиң жәрдемінде  $\psi$  хәм  $\psi^*$  функцияларынан қутылып

$$\dot{\mathbf{p}} = -\frac{\hbar^2}{2m} \int [(\nabla^2 \psi^*) (\nabla \psi) + (\nabla^2 \psi) (\nabla \psi^*)] d^3x + \int (\psi^* V \nabla \psi + V \psi \nabla \psi^*) d^3x \quad (3.6)$$

аңлатпасын аламыз. Бөлеклерге бөлип интеграллаў

$$\int (\nabla^2 \psi^*) (\nabla \psi) d^3x = - \int (\nabla \psi^*) (\nabla^2 \psi) d^3x$$

(3.5)-интегралдағы еки қосылыўшының бир бири менен жыйысатуғынлығын көрсетеди. (3.5)-аңлатпадан ең кейінде қалған қосындыны бөлеклерге бөлип интеграллаўды қоллансақ

$$\mathbf{p} = \int \psi^* [V \nabla \psi - \nabla (V \psi)] d^3x$$

аңлатпасын аламыз. Ең ақырында

$$\nabla (V \psi) = V \nabla \psi + \psi \nabla V$$

формуласынан пайдаланып

$$\dot{\mathbf{p}} = - \int \psi^* (\nabla V) \psi d^3x = \mathbf{F}$$

теңлемесине келемиз. Биз бунның дурыслығын дәлиллейміз керек еді.

#### 4-мәселе. Қозғалыс муғдарының моменти ушын классикалық нызамлар

Кеңісликлик орташа мәніслер ушын қозғалыс муғдарының моменти  $\mathbf{L} = \mathbf{r} \times \mathbf{p}$  менен күш моменти  $\mathbf{T} = \mathbf{r} \times \mathbf{F}$  арасындағы классикалық

$$\frac{d\mathbf{L}}{dt} = \mathbf{T} \quad (4.1)$$

байланысының квантлық механикада да орын алатуғынлығын көрсетіңіз. Бул формулаларда  $\mathbf{p}$  импульсти, ал  $\mathbf{F}$  күшти аңғартады.

Шешими: Жоқарыдағы мәселедегидей кеңісликлик орташаларды анықлаудан баслаймыз:

$$\mathbf{L} = \frac{\hbar}{i} \int \psi^* (\mathbf{r} \times \nabla) \psi d^3x, \quad (4.2)$$

$$\mathbf{T} = - \int \psi^* (\mathbf{r} \times \nabla V) \psi d^3x. \quad (4.3)$$

Бул жағдайда да егер  $\psi$  хәм  $\psi^*$  функциялары (3.4)-Шредингер теңлемесин қанаатландырады деп есаплаймыз.

Биз дәлиллейди (4.2)-аңлатпаны ўақыт бойынша дифференциаллаудан баслаймыз:

$$\dot{\mathbf{L}} = \frac{\hbar}{i} \int [\dot{\psi}^* (\mathbf{r} \times \nabla \psi) + \psi^* (\mathbf{r} \times \nabla \dot{\psi})] d^3x.$$

Екинши қосылыўшыны

$$\psi^* \nabla \dot{\psi} = \nabla (\psi^* \dot{\psi}) - \dot{\psi} \nabla \psi^*$$

теңлигиниң жәрдеминде түрлендиремиз хәм бул теңликтиң оң тәрәпиндеги биринши ағзаға буннан былай векторлық анализдиң төмендегидей улыўмалық формуласын пайдаланыўға болатуғынлығын есапқа аламыз:

$$\int \mathbf{r} \times \nabla f d^3x = 0. \quad (4.4)$$

Бул аңлатпада  $f = \psi^* \dot{\psi}$ . Бул

$$\mathbf{L} = \frac{\hbar}{i} \int \mathbf{r} \times (\psi^* \nabla \psi - \psi \nabla \psi^*) d^3x$$

аңлатпасын береді. Енді (3.4)-теңлемелердің жәрдеминде  $\psi$  хәм  $\psi^*$  функцияларынан қутылсақ мынаған ийе боламыз:

$$\begin{aligned} \mathbf{L} = & -\frac{\hbar^2}{2m} \int \mathbf{r} \times [(\nabla^2 \psi^*)(\nabla \psi) + (\nabla^2 \psi)(\nabla \psi^*)] d^3x + \\ & + \int V \mathbf{r} \times (\psi^* \nabla \psi + \psi \nabla \psi^*) d^3x. \end{aligned} \quad (4.5)$$

$(\nabla^2 \psi^*)(\nabla \psi) + (\nabla^2 \psi)(\nabla \psi^*) = \nabla [(\nabla \psi^*)(\nabla \psi)]$  теңлиги орынлы болғанлықтан биринши интегралдың белгиси астындағы қаўсырманың ишиндеги аңлатпа  $f = (\nabla \psi^*) \cdot (\nabla \psi)$  скаляр функцияның градиенти болып табылады. Сонлықтан (4.4) ке сәйкес бул интеграл жоғалады. Екинши интеграл белгиси астындағы қаўсырма ишиндеги аңлатпа  $\nabla (\psi^* \psi)$  ға тең Буннан кейин

$$\nabla (\psi^* \psi) = \nabla (V \psi^* \psi) - \psi^* \psi \nabla V$$

теңлигин пайдаланып хәм (4.4)-формуланың жәрдемнен және пайдаланып екинши интегралды

$$\int \mathbf{r} \times [V \nabla (\psi^* \psi)] d^3x = - \int \mathbf{r} \times (\psi^* \psi \nabla V) d^3x$$

түрине алып келемиз Бул аңлатпа күш моментиниң орташа мәниси ушын жазылған (4.3)-аңлатпаға сәйкес келеді.

## 5-мәселе. Энергияның сақланыў нызамы

Мейли Шредингер толқын майданының энергиясы 2-мәселедеги (2.5)-интегралының жәрдемінде тәрийипленетуғын болсын. Бундай жағдайда энергияның сақланыў нызамы

$$\frac{\partial W}{\partial t} + \operatorname{div} \mathbf{S} = 0 \quad (5.1)$$

түрине ийе болыўы керек. Бул аңлатпада  $W$  арқалы энергияның тығызлығы, ал  $S$  арқалы энергия ағысының тығызлығы белгиленген. Қолайлы болған  $S$  Умов-Пойнтинг векторын конструкциялап энергияның сақланыў нызамын келтирип шығарыңыз.

Шешими: (2.5)-теңлемеге сәйкес

$$E = \int W d^3x. \quad (5.2)$$

Бул жерде

$$W = \frac{\hbar^2}{2m} (\nabla \psi^*)(\nabla \psi) + \psi^* V \psi. \quad (5.3)$$

Бул аңлатпадағы биринши ағза кинетикалық энергияның, ал екинши ағза потенциал энергияның тығызлығы. (5.1)-теңлемеге сәйкес бизге

$$\dot{W} = \frac{\hbar^2}{2m} [(\nabla \dot{\psi}^*)(\nabla \psi) + (\nabla \psi^*)(\nabla \dot{\psi})] + V(\dot{\psi}^* \psi + \psi^* \dot{\psi}) \quad (5.4)$$

тууындысы керек.

$$(\nabla \dot{\psi}^*)(\nabla \psi) = \nabla(\dot{\psi}^* \nabla \psi) - \dot{\psi}^* \nabla^2 \psi$$

хәм

$$(\nabla \psi^*)(\nabla \dot{\psi}) = \nabla(\dot{\psi} \nabla \psi^*) - \dot{\psi} \nabla^2 \psi^*$$

болғанлықтан (5.4)-аңлатпаның кинетикалық энергия менен байланыслы болған бөлимин түрлендириүимиз хәм төмендегидей түрде жазыуымыз мүмкин

$$\dot{W} = \nabla \left[ \frac{\hbar^2}{2m} (\dot{\psi}^* \nabla \psi + \dot{\psi} \nabla \psi^*) \right] - \frac{\hbar^2}{2m} \dot{\psi}^* \nabla^2 \psi - \frac{\hbar^2}{2m} \dot{\psi} \nabla^2 \psi^* + \dot{\psi}^* V \psi + \dot{\psi} V \psi^*. \quad (5.5)$$

(3.4)-Шредингер теңлемеси бизге соңғы қосылыўшыдағы кеңисликлик тууындыларды хәм потенциалды ўақыт бойынша тууындылар менен алмастырыўға мүмкиншилик береді. Нәтийжеде алынған ағзалар бир бири менен жыйысады:

$$\dot{\psi}^* \left( -\frac{\hbar}{i} \dot{\psi} \right) + \dot{\psi} \left( \frac{\hbar}{i} \dot{\psi}^* \right) = 0.$$

Сонлықтан (5.5)-теңлеме өзиниң формасы бойынша (5.1)-теңлеме менен бирдей, ал биз излеп атырған Умов-Пойнтинг векторы

$$\mathbf{S} = -\frac{\hbar^2}{2m} (\dot{\psi}^* \nabla \psi + \dot{\psi} \nabla \psi^*) \quad (5.6)$$

аңлатпасының жәрдеминде аңлатылады.

### 6-мәселе. Эрмитлик түйинлеслик

$\Omega$  операторы менен эрмитлик түйинлес  $\Omega^\dagger$  операторы

$$\int (\Omega \psi)^* \varphi \, d\tau = \int \psi^* \Omega^\dagger \varphi \, d\tau \quad (6.1)$$

теңлигиниң жәрдеминде анықланады. Бул теңликти функционаллық анализдің белгилеўлери (символикасы) жәрдеминде былайынша жазыў мүмкин:

$$\langle \Omega \psi | \varphi \rangle = \langle \psi | \Omega^\dagger \varphi \rangle. \quad (6.16)$$

Бул аңлатпада  $\psi$  менен  $\varphi$  лер

$$\langle \psi | \psi \rangle = 1, \quad \langle \varphi | \varphi \rangle = 1 \quad (6.2)$$

нормировка шәртлерине бағынатуғын ықтыярлы функциялар.

Бул анықламаны матрицалық көрсетиў тилинде келтирип шығарыңыз.  $\Omega = \Omega^\dagger$  теңлиги менен анықланатуғын эрмитлик оператордың меншикли мәнислери



хақында не айта аласыз?

**Шешими.** Оператордың матрицалық көриниси  $\{u_v\}$  ортонормировкаланған функциялардың толық жыйнағын сайлап алыу менен анықланады:

$$\langle u_v | u_\mu \rangle = \delta_{\mu v}. \quad (6.3)$$

Ықтыярлы нормировкаланған  $\psi$  хәм  $\varphi$  функциялары ушын

$$\psi = \sum_v a_v u_v, \quad \varphi = \sum_\mu b_\mu u_\mu \quad (6.4)$$

түріндегі жайыулар (қатарларға жайыулар) орын алады. (6.4)-аңлатпаны (6.1)-анықламаға қойсақ

$$\sum_\mu \sum_v a_v^* b_\mu \langle \Omega u_v | u_\mu \rangle = \sum_\mu \sum_v a_v^* b_\mu \langle u_v | \Omega^\dagger | u_\mu \rangle$$

аңлатпасын аламыз. Теңлік  $\psi$  хәм  $\varphi$  функцияларының қалеген жубы ушын орынлы деп болжаймыз. Соның ушын хәр бир қосылыушы ушын өз алдына

$$\langle \Omega u_v | u_\mu \rangle = \langle u_v | \Omega^\dagger | u_\mu \rangle \quad (6.5)$$

теңлигинің орынланыуы керек. Енди  $\{u_v\}$  толық жыйнағын  $\Omega^\dagger$  операторының матрицасын анықлау ушын пайдаланамыз. буның ушын (6.5)-теңликтің оң тәрәпин былайынша түрлендиреміз:

$$\langle u_v | \Omega^\dagger | u_\mu \rangle = (\Omega^\dagger)_{\nu\mu}.$$

Шеп тәрәпин болса, оны былайынша түрлендириу мүмкин:

$$\langle \Omega u_v | u_\mu \rangle = \int (\Omega u_v)^* u_\mu d\tau = \left[ \int u_\mu^* (\Omega u_v) d\tau \right]^* = \langle u_\mu | \Omega | u_v \rangle^* = \Omega_{\mu v}^*.$$

Демек  $\Omega$  хәм  $\Omega^\dagger$  матрицаларының матрицалық элементлери (6.5)-аңлатпаға сәйкес

$$(\Omega^\dagger)_{\mu\nu} = \Omega_{\nu\mu}^* \quad (6.6)$$

қатнасы арқалы байланысқан болыуы керек. Басқаша айтқанда эрмитлик түйинлес  $\Omega^\dagger$  матрицасының элементлери  $\Omega$  матрицасының элементлеринен транспонирлеу ( $\mu \rightleftharpoons \nu$ ) хәм комплексли түйинлеслеу операцияларының жәрдемінде алынады екен.

(6.6)-қатнастың жәрдемінде биз  $\Omega^{\dagger\dagger} = \Omega$  теңлигин бирден алатуғынымызды атап өтеміз.

$\Omega$  эрмитлик (өзине өзи түйинлес) матрицасы ушын (анықлама бойынша  $\Omega = \Omega^\dagger$ ) биз (6.6)-аңлатпаға сәйкес

$$\Omega_{\mu\nu} = \Omega_{\nu\mu}^* \quad (6.7)$$

екенлигине ийе боламыз. Диагоналлық  $\mu = \nu$  матрицалық элементлери хақыйқый. Бундай тастыйықлау функциялардың қалеген ортонормировкаланған жыйнағы ушын дурыс (яғный гильберт кеңислигиндегі координаталар системасының қалеген түрде сайлап алыныуы ушын орынлы). Мысалы  $\{u_v\}$  жыйнағының

жәрдемінде  $\Omega_{\mu\nu}$  матрицасы диагоналық түрге алып келинеді:

$$\Omega_{\mu\nu} = \omega_{\mu} \delta_{\mu\nu}. \quad (6.8)$$

$\omega_{\mu}$  шамаларының мәнісі  $\Omega$  матрицаларының меншикли мәніслери еди, сонлықтан эрмитлик матрицаның меншикли мәніслери ҳақыйқый болып табылады.

**Ескертиў:** Ең кейинги нәтийжеге байланыслы барлық физикалық шамалардың операторлары (бақланатуғын шамалар) эрмитлик болып табылады.

### 7-мәселе. Эрмитлик операторды қурыў

Классикалық  $x p_x$  көбеймесине сәйкес келетуғын квантлық механикалық операторды қурыңыз (дүзиңиз).

Шешими.

а)  $x$  ҳәм  $p_x$  операторлары коммутацияланбайды ҳәм

$$p_x x - x p_x = \frac{\hbar}{i} \quad (7.1)$$

орын алмастырыў қатнасын қанаатландырады. Бул теңликтиң дурыслығын координаталық көринисте жеңил тексерип көриў мүмкин. Бул аңлатпада

$$p_x = \frac{\hbar}{i} \frac{\partial}{\partial x}. \quad (7.2)$$

Сонлықтан  $x p_x$  классикалық көбеймесине

$$\Omega = (1 - \alpha) x p_x + \alpha p_x x \quad (7.3)$$

түриндеги ҳәр бир оператор сәйкес келеди. Дәслеп  $\alpha$  турақлысын ҳақыйқый деп есаплаймыз. Бул турақлыны қәлеген  $\psi$  квантлық ҳал ушын  $\Omega$  шамасының орташа мәніси

$$\langle \Omega \rangle = \int \psi^* \Omega \psi d^3x = \text{ҳақыйқый шама} \quad (7.4)$$

болатуғындай етип сайлап аламыз.  $p_x$  операторы ушын жазылған (7.2)-аңлатпаны пайдаланып (7.4)-теңликти жайылған түрде былайынша жазамыз:

$$\langle \Omega \rangle = \frac{\hbar}{i} \int \psi^* \left[ (1 - \alpha) x \frac{\partial \psi}{\partial x} + \alpha \frac{\partial}{\partial x} (x \psi) \right] d^3x = \frac{\hbar}{i} \int \psi^* \left( x \frac{\partial \psi}{\partial x} + \alpha \psi \right) d^3x.$$

Енди  $\psi$  диң

$$\psi = f + ig$$

ҳақыйқый бөлимин жормал бөлегинен айырсақ төмендеги аңлатпаны аламыз:

$$\langle \Omega \rangle = \frac{\hbar}{i} \int \left[ x \left( f \frac{\partial f}{\partial x} + g \frac{\partial g}{\partial x} \right) + \alpha (f^2 + g^2) \right] d^3x + \\ + \hbar \int x \left( f \frac{\partial g}{\partial x} - g \frac{\partial f}{\partial x} \right) d^3x.$$

Бұл аңлатпаның оң тәрәпиндегі екінші интеграл қақыйқый. Ал бірінші интеграл болса жормал хәм (7.4)-аңлатпаға сәйкес жоғалыуы керек. Соның менен бирге

$$\int (f^2 + g^2) d^3x = 1$$

хәм бул теңликти

$$\frac{1}{2} \int x \frac{\partial}{\partial x} (f^2 + g^2) d^3x = -\alpha$$

теңлиги түрінде жазыу мүмкин. Бул теңлик болса бөлеклерге бөліп интеграллағаннан кейін

$$\alpha = \frac{1}{2} \quad (7.5)$$

мәнісин береді.

Солай етип  $\Omega$  операторының эрмитлигин тәміинлеуші

$$\Omega = \frac{1}{2} (xp_x + p_x x) \quad (7.6)$$

симметриялық комбинациясы дурыс болады.

Егер комплексли  $\alpha$  ға өтсек  $\alpha$  шамасының

$$\alpha = \frac{1}{2} + i\beta \quad (7.7)$$

түріндегі қәлеген түрі пайдаға асады. Бул аңлатпада  $\beta$  арқалы ықтыярлы қақыйқый сан белгиленген. Қақыйқатында бул жағдайда

$$\Omega = \frac{1}{2} (xp_x + p_x x) + i\beta (p_x x - xp_x) \quad (7.8)$$

хәм биз бірінші қосылушының орташа мәнісинің қақыйқый екенлигин, екіншісин орташалағанда болса (7.1)-орын алмастыру қатнасының орын алуына байланысly квантлық қалдың сайлап алынуынан ғәрезсиз турақлы  $\beta\hbar$  үлесин беретуғынлығын көреміз. Демек бул қосылушы физикалық мәніске ийе емес. Сонлықтан оны есапқа алмау керек.

б) Оператордың эрмитлигин тап сондай табыс пенен

$$\langle u | \Omega v \rangle = \langle \Omega u | v \rangle \quad (7.9a)$$

ямаса толығырақ

$$\int u^* \Omega v d^3x = \int (\Omega u)^* v d^3x \quad (7.9b)$$

аңлатпасының жәрдемінде анықлау мүмкін. Бул жерде  $u$  менен  $v$  арқалы комплексли ықтыярлы функциялар белгиленген. Бундай функцияларды сайлап алыу тек интеграллардың бар болуы шәрті менен шекленеди. (7.3)-оператор ушын хақыйқый  $\alpha$  де бул

$$\begin{aligned} & \frac{\hbar}{i} \int u^* \left[ (1-\alpha) x \frac{\partial v}{\partial x} + \alpha \frac{\partial (xv)}{\partial x} \right] d^3x = \\ & = -\frac{\hbar}{i} \int \left[ (1-\alpha) x \frac{\partial u^*}{\partial x} + \alpha \frac{\partial (xu^*)}{\partial x} \right] v d^3x \end{aligned}$$

ямаса

$$\int u^* \left( x \frac{\partial v}{\partial x} + \alpha v \right) d^3x = - \int \left( x \frac{\partial u^*}{\partial x} + \alpha u^* \right) v d^3x$$

аңлатпасын береді. Бул жерде қосылыушылардың тәртібин өзгертип мынаны аламыз:

$$\int x \frac{\partial}{\partial x} (u^* v) d^3x = -2\alpha \int u^* v d^3x.$$

Шеп тәрәпинде турған ағзадан бөлеклерге бөліп интеграл алсақ

$$- \int u^* v d^3x = -2\alpha \int u^* v d^3x$$

аңлатпасын табамыз. Бул бизиң ески (7.5) нәтижемізди, яғный  $\alpha = 1/2$  ди береді.

### 8-мәселе. Операторды дифференциаллау

Мейли  $f(p, x)$  функциясы  $p_k, x_k$  операторларының пүтин функциясы болсын. Коммутациялық қағыйдалардан

$$\frac{\partial f}{\partial x_k} = -[f, p_k], \quad (8.1)$$

$$\frac{\partial f}{\partial p_k} = [f, x_k] \quad (8.2)$$

қатнастарының келип шығатуғынлығын көрсетиңіз. Бул аңлатпаларда қысқартуы мақсетінде

$$[f, g] = \frac{i}{\hbar} (fg - gf)$$

белгилеуи қолланылған.

**Шешими:** Каноникалық коммутациялық қағыйдалар

$$[p_k, p_l] = 0, \quad [x_k, x_l] = 0, \quad [p_k, x_l] = \delta_{kl} \quad (8.3)$$

формулалары менен бериледи. (8.1)- хәм (8.12)-аңлатпалардың дурыслығы төрт

избе-из баскышқа бөлинеди.

1. Мейли  $f = p_l$ . Бул жағдайда  $\partial f / \partial x_k = 0$  хәм  $\partial f / \partial p_k = \delta_{kl}$ . Демек (8.1)- хәм (8.2)- қатнастар

$$[p_k, p_l] = 0, \quad [p_l, x_k] = \delta_{lk}$$

түрине енеди хәм сонлықтан (8.3)-формулаларға сәйкес келеди. Тап усындай жоллар менен олардың дурыслығы  $f = x_l$ ,  $\partial f / \partial x_k = \delta_{kl}$ ,  $\partial f / \partial p_k = 0$  болған жағдайлар ушын да көрсетиледи.

2. Мейли (8.1)- хәм (8.2)-қатнастар  $f$  хәм  $g$  функциялары ушын да орынлы болсын. Бирақ сызықтылық қасиетке ийе болғанлықтан олар  $c_1$  хәм  $c_2$  ықтыярлы комплексли коэффициентлерге ийе қалеген  $c_1 f + c_2 g$  сызықты комбинациясы ушын да дурыс болады.

3.  $f$  хәм  $g$  функциялары ушын орынлы болған (дурыс болған) бул қатнастар  $fg$  көбеймеси ушын да дурыс болады. (8.1) жағдайында буны тиккелей өткерилген

$$\begin{aligned} \frac{\partial}{\partial x_k} (fg) &= f \frac{\partial g}{\partial x_k} + \frac{\partial f}{\partial x_k} g = -\{f, p_k\} g + [f, p_k] g = \\ &= -\frac{i}{\hbar} \{fg p_k - f p_k g + f p_k g - p_k f g\} = -[fg, p_k] \end{aligned}$$

есаплауларының жәрдеминде тексерип көриу мүмкин. Тап сол сыяқты есаплауларды (8.2)-қатнас жағдайы ушын да орынлауға болады.

4. Жоқарыдағы 3-пунктте көрсетілген жағдайлардан биз қарап атырған қатнастардың қалеген сандағы  $p_k$  хәм  $x_k$  көбейтиушилерине ийе ықтыярлы көбеймелердің сызықты комбинациясы ушын да дурыс. Бул жағдай олардың  $p_k$  хәм  $x_k$  өзгериушилеринің қалеген пүтин функциясы ушын да дурыс екенлигин көрсетеди. Бул жағдайды бизің дәлиллейимиз керек еди.

## 9-мәселе. Орташа мәнислердің уақыттың өтиуі менен өзгериуі

Мейли  $\langle A \rangle$  арқалы  $\psi$  халындағы  $A$  операторының уақыттан ғәрезсиз болған орташа мәниси болсын.  $\psi$  халы уақыттың өтиуі менен өзгеретуғын болсын.  $\langle A \rangle$  шамасының уақыттың өтиуі менен қалайынша өзгеретуғынлығын анықлаңыз. Сиз  $\langle x_k \rangle$  хәм  $\langle p_k \rangle$  орташа мәнислеринің өзгерислери хаққында не айта аласыз?

**Шешими.**

$$\langle A \rangle = \langle \psi | A | \psi \rangle = \int \psi^*(t) A \psi(t) dt \quad (9.1)$$

орташа мәнисинің өзгериуі тезлиги

$$\frac{d}{dt} \langle A \rangle = \int (\dot{\psi}^* A \psi + \psi^* A \dot{\psi}) dt \quad (9.2)$$

шамасына тең.  $\psi$  хәм  $\psi^*$  толқын функцияларының тууындылары Шредингер теңлемесине бағынады:

$$-\frac{\hbar}{i} \dot{\psi} = H \psi, \quad \frac{\hbar}{i} \dot{\psi}^* = H^+ \psi^*. \quad (9.3)$$

Бул жерде  $H$  гамильтонианы эрмитлик оператор болып табылады. Сонлықтан  $H = H^+$ .

(9.3)-аңлатпаны (9.2)-аңлатпаға қойып

$$\frac{d}{dt} \langle A \rangle = \frac{i}{\hbar} \int [(H^\dagger \psi^*) A \psi - \psi^* A H \psi] d\tau$$

екенлигине ямаса функционаллық анализ белгилеулерінде

$$\frac{d}{dt} \langle A \rangle = \frac{i}{\hbar} [\langle H \psi | A \psi \rangle - \langle \psi | A H \psi \rangle] \quad (9.4)$$

аңлатпасын аламыз. (9.4)-аңлатпаның биринши қосылыўшысын

$$\langle \Omega \psi | \varphi \rangle = \langle \psi | \Omega^\dagger \varphi \rangle$$

аңлатпасының жәрдемінде түрлендирип

$$\langle H \psi | A \psi \rangle = \langle \psi | H^\dagger A \psi \rangle = \langle \psi | H A \psi \rangle$$

аңлатпасына ийе боламыз. Сонлықтан (9.4)-теңлик

$$\frac{d}{dt} \langle A \rangle = \frac{i}{\hbar} \langle \psi | H A - A H | \psi \rangle \quad (9.5)$$

түрине енеди ямаса қысқа түрде жазылған

$$\frac{d}{dt} \langle A \rangle = \langle [H, A] \rangle \quad (9.6)$$

аңлатпасын аламыз. (9.6)-қатнасты  $A = x_k$  хәм  $A = p_k$  болған дара жағдай ушын қолланамыз. (8.1)- хәм (8.2)-қатнастарды есапқа алғанда бул қолланыў

$$\frac{d}{dt} \langle x_k \rangle = \left\langle \frac{\partial H}{\partial p_k} \right\rangle, \quad \frac{d}{dt} \langle p_k \rangle = - \left\langle \frac{\partial H}{\partial x_k} \right\rangle \quad (9.7)$$

аңлатпаларын береді. Солай етип орташа мәнислер классикалық механиканың каноникалық ызамлары бойынша өзгереді екен.

**Ескертиў:** Гүман пайда болмаўы ушын улыўма жағдайда

$$\frac{d}{dt} \langle A \rangle = \left\langle \frac{\partial A}{\partial t} \right\rangle + \langle [H, A] \rangle$$

теңлигиниң орынлы екенлигин атап өтемиз.

## II. Спин есапқа алынбайтуғын бир бөлекшели мәселелер

### A. Бир өлшемли мәселелер

Бир өлшемли мәселелер әдеўир идеалластырыў болып табылады. Бирақ бундай мәселелерди квантлық механиканың тийкарғы өзгешеликлерин айқынластырыў ушын пайдаланыў мүмкин. Бундай мәселелер

$$-\frac{\hbar^2}{2m} \nabla^2 \psi + V(x, t) \psi = -\frac{\hbar}{i} \frac{\partial \psi}{\partial t} \quad (\text{A.1})$$

түріндегі толқынлық теңлемени шешкенде пайда болады. Бундай мәселеде потенциал тек бір декарт координатасынан ғәрезли болады.

$$\psi = e^{i(k_1 y + k_3 z)} \varphi(x, t) \quad (\text{A.2})$$

факторластырылуының жәрдеминде

$$-\frac{\hbar^2}{2m} \frac{\partial^2 \varphi}{\partial x^2} + \frac{\hbar^2}{2m} (k_2^2 + k_3^2) \varphi + V(x, t) \varphi = -\frac{\hbar}{i} \frac{\partial \varphi}{\partial t} \quad (\text{A.3})$$

теңлемесін аламыз. Егер

$$\varphi(x, t) = e^{-i\omega_0 t} u(x, t), \quad \hbar\omega_0 = \frac{\hbar^2}{2m} (k_2^2 + k_3^2) \quad (\text{A.4})$$

белгилеулерін қабыл етсек бұл теңлемени және де әпиұайыластырыуға болады. Усының нәтижесінде биз бир өлшемлі толқын теңлемесіне келеміз:

$$-\frac{\hbar^2}{2m} \frac{\partial^2 u}{\partial x^2} + V(x, t) u = -\frac{\hbar}{i} \frac{\partial u}{\partial t}. \quad (\text{A.5})$$

(A.2)– хәм (A.3)-формулардағы экспоненциаллық көбейтiушiлер х көшерине перпендикуляр бағытта тарқалатуғын тегис толқынларды тәрийиплейди. Бұл толқынлар х бағытындағы толқын функциясының қасиетлерине тәсир етпейди.

### 16-мәселе. Еркін қозғалыс жағдайындағы фундаменталлық шешімлер

$V = 0$  болған жағдай үшін бир өлшемлі толқын теңлемесін шешіңіз. Алынған шешімлердің физикалық мәнісін таллаңыз.

**Шешими.**

$$-\frac{\hbar^2}{2m} \frac{\partial^2 \psi}{\partial x^2} = -\frac{\hbar}{i} \frac{\partial \psi}{\partial t} \quad (16.1)$$

толқын теңлемесі өзгеріушілерді айырыуға мүмкіншілік береді<sup>1</sup>:

$$\psi(x, t) = u(x) g(t). \quad (16.2)$$

Себеби (16.2)-аңлатпаны (16.1) теңлемеге қойсақ

$$-\frac{\hbar^2}{2m} \frac{u''}{u} = -\frac{\hbar}{i} \frac{\dot{g}}{g} = \hbar\omega \quad (16.3)$$

теңлемесін аламыз. Бұл аңлатпада  $\hbar\omega$  арқалы айырыу тұрақтысы белгіленген.

<sup>1</sup> Бұл жерде хәм буннан кейін (A.4)-теңлемени қанаатландыратуғын бир өлшемлі толқын функциясын  $\psi$  арқалы, ал оның кеңіслик бөлімін  $u$  арқалы белгілейміз.

(16.3)-теңлемени еки теңлемеге айырыў арқалы

$$\dot{g} = -i\omega g \quad \text{яғни} \quad g(t) = e^{-i\omega t} \quad (16.4)$$

хәм

$$u'' + \frac{2m\omega}{\hbar} u = 0. \quad (16.5)$$

Егер  $\omega$  ҳақыйқый шама болып табылатуғын болса, онда толқын функциясы дәўирли болады хәм  $|\psi|^2$  шамасы ўақыттан ғәрезли болмайды (стационар ҳал). Егер  $\omega$  оң шама болса, онда

$$\frac{2m\omega}{\hbar} = k^2 \quad (16.6)$$

шамасы да оң шама болады. Сонлықтан жоқарыда айтылғанлардан басқа (16.5)-теңлемениң шешими  $x$  кеңисликлик өзгериўшисиниң дәўирли функциясы болады.

**Ескертиў:** Толқын функциясының ўақыттан ғәрезли екенлигин көрсететуғын (16.4) комплексли формасы квантлық механиканың өзине тән әҳмийетли өзгешелигин қурайды:  $\sin\omega t$  менен  $\cos\omega t$  функциялары (16.4)-дифференциал теңлемениң шешимлери болып табылмайды. Классикалық физика менен квантлық механика арасындағы бундай айырма Шредингер теңлемесиниң ўақыт бойынша биринши тәртиптеги теңлеме екенлиги менен байланысly.

$\omega$  параметриниң физикалық мәнисин (16.1)-теңлемениң шеп тәрәпиндеги операторды Гамильтон операторы деп қарап анықлаймыз (бул жағдайда Гамильтон операторы тек кинетикалық энергияның операторы болған бир оператордан турады). Буннан  $E = \hbar\omega$  шамасының бөлекшениң кинетикалық энергиясы екенлиги келип шығады. Сонлықтан оның мәниси барлық ўақытта да оң болыўы керек хәм бизиң шешимимиз гамильтонианның меншикли функциясы болып табылады.

$k^2$  шамасының мәниси оң болғанлықтан (16.5)теңлемениң ямаса

$$u'' + k^2 u = 0 \quad (16.7)$$

теңлемесиниң улыўмалық шешими

$$u(x) = Ae^{ikx} + Be^{-ikx} \quad (16.8a)$$

түрине ийе болады. Сонлықтан бир өлшемли

$$\psi(x, t) = Ae^{i(kx - \omega t)} + Be^{-i(kx + \omega t)} \quad (16.8b)$$

толқын функциясы қарама-қарсы бағытта тарқалатуғын еки толқыннан турады. Еки толқынның да фазалық тезлиги  $v_\phi = \omega/k$  шамасына тең.

Егер тығызлық ушын аңлатпаны анық түрде

$$\rho = \psi^* \psi, \quad (16.9)$$



ал ағыс ушын аңлатпаны

$$s = \frac{\hbar}{2mi} \left( \psi^* \frac{\partial \psi}{\partial x} - \psi \frac{\partial \psi^*}{\partial x} \right) \quad (16.10)$$

түрінде жазсақ, онда толқын функциясының кеңістік бөлімінің физикалық мәнісі айқынласады. (16.86)-аңлатпаға муәпәк биз

$$\rho = |A|^2 + |B|^2 + (AB^* e^{2ikx} + A^* B e^{-2ikx}),$$

$$s = \frac{\hbar k}{m} (|A|^2 - |B|^2)$$

аңлатпаларына ийе боламыз.  $A$  хәм  $B$  амплитудаларына ийе еки толқынның қарама-қарсы бағытланған еки ағысқа сәйкес келетуғынлығы көринип тур. Олардың интенсивлиги толқынлардың салыстырмалы нормировка турақлысы арқалы анықланады хәм  $k$  ға пропорционал. Тығызлық ушын аңлатпа толқынлардың (когерент толқынлардың) интерференциясының орын алатуғынлығын көрсетеди. Бул интерференция кеңістік дәуірликтиң пайда болуының себепшиси болады.

Когерентликтің пайда болуы ушын айрықша себеп болмаған жағдайда (мысалы шегаралық шәртлер болмағанда) хәр бир толқынды өз алдына қарау ақылға муәпәк келеди. Бундай жағдайда  $B = 0$  деп болжаймыз хәм бул болжау  $s > 0$  теңсізлигин береді. Соның менен бирге  $A = 0$  деп болжасақ та болады. Бундай жағдайда  $s < 0$  теңсізлигин аламыз. Нәтижеде бир бирине қарама-қарсы болған анау ямаса мына бағыттағы бөлекшениң тууры сызықлы қозғалысы алынады.  $k$  шамасы еки белгиге де ийе болады деп есаплап бизиң нәтижелеримизди былайынша жууақлау мүмкин:

$$\begin{aligned} \psi(x, t) &= C e^{i(kx - \omega t)}, \\ E &= \hbar \omega, \quad k^2 = \frac{2m\omega}{\hbar}, \\ \rho &= |C|^2, \quad s = \frac{\hbar k}{m} |C|^2. \end{aligned} \quad (16.11)$$

$\omega$  ны жоқ етип

$$E = \frac{\hbar^2 k^2}{2m} \quad (16.12)$$

екенлигине ийе боламыз. Сонлықтан бөлекшениң импульси хәм оның классикалық тезлиги сәйкес

$$p = \hbar k \quad (16.13)$$

хәм

$$v = \frac{\hbar k}{m} \quad (16.14)$$

шамаларына тең болады. Тезлик ушын алынған соңғы аңлатпа

$$v_{\Phi} = \frac{\omega}{k} = \frac{E}{p} = \frac{1}{2} v$$

фазалық тезлік аңлатпасына пүткіллей сәйкес келмейди. Бирақ бул аңлатпа толқынның группалық тезлигине сәйкес келеди:

$$v_{гр} = \frac{d\omega}{dk} = \frac{dE}{dp} = v.$$

Ескертиў: (16.1)-тийкарғы дифференциал теңлемени  $D$  жормал диффузия коэффициентине ийе диффузия теңлемеси деп қараўға болады:

$$D \frac{\partial^2 \psi}{\partial x^2} = \frac{\partial \psi}{\partial t}, \quad D = i \frac{\hbar}{2m}.$$

Квантлық теорияда өзгериўшилерди айырыў аҳмийетли орынды ийелейтуғынлығын, ал диффузия теориясында аҳмийетли орынды ийелемейтуғынлығын есапқа алсақ диффузия мәселелериндеги көп ушырасатуғын  $D$  коэффициенті ҳақыйқый мәниске ийе болғандағы

$$\psi(x, t) = \frac{1}{\sqrt{t}} \int_{-\infty}^{\infty} f(\xi) \exp \left[ \frac{im}{2\hbar} \cdot \frac{(x-\xi)^2}{t} \right] d\xi$$

шешими квантлық механикада пайдаланылыў ушын орын таппайды.

(16.1)-теңлемедегі ўақыттың белгисин өзгертиў  $\psi$  толқын функциясын  $\psi^*$  пенен алмастырыўға алып келеди.

## 17-мәселе. Еркін қозғалыстағы толқын пакети

Толқын пакетин дүзиңиз ҳәм оның ўақытлық эволюциясын изертлеңиз.

**Шешими.** Биз толқын теңлемесин дара жағдай ушын шешемиз ҳәм оны бурын тапқан (16.11)-шешим түринде жазамыз:

$$\psi(k; x, t) = C(k) e^{i(kx - \omega t)}, \quad (17.1)$$

$$\omega = \frac{\hbar}{2m} k^2. \quad (17.2)$$

Бул аңлатпада  $C(k)$  арқалы ықтыярлы турақлы амплитуда белгиленген. Ал  $k$  шамасы болса еlege шекем еркин параметр. Сонлықтан толқын теңлемесиниң улыўмалық шешими

$$\psi(x, t) = \int_{-\infty}^{\infty} \psi(k; x, t) dk \quad (17.3)$$

аңлатпасындағы  $k$  бойынша қәлеген жыйнақлы интеграл түринде жазылады.

(17.3)-теңлик ең улыўма түрдеги бир өлшемлі толқын пакетин тәрийиплейди. Интегралдың жыйнақлы болыўы ушын  $|k| \rightarrow \infty$  шегинде  $C(k)$  коэффициенті ең

кеминде  $1/k$  түрінде нолге умтылыуы керек. Тап сол сыяқлы сайлап алынған  $C(k)$  амплитудасы белгили бир түрдеги шешимге алып келеди.

Енди  $p_0 = \hbar k_0$  импульсине ийе биз тәрийиплеп атырған бөлекшени  $t = 0$  басланғыш уақыт моментинде  $x = 0$  ноқатының әтирапында табыудың итималлығы нолден сезилерликтей айырмасы бар жағдай ушын толқын пакетин құрамыз. Егер толқын пакетин

$$\psi(x, 0) = A \exp \left[ -\frac{x^2}{2a^2} + ik_0 x \right] \quad (17.4)$$

түрінде алатуғын болсақ бул мақсетке жетиуге болады. Хәқыйқатында да бул жағдайда

$$\rho(x, 0) = |\psi(x, 0)|^2 = |A|^2 \exp \left( -\frac{x^2}{a^2} \right)$$

тығызлығы  $|x| \leq a$  областында локализицияланған бөлекшеге жууап береді. Ал (16.10) ағысы

$$s(x, 0) = \frac{\hbar}{2mi} 2ik_0 |A|^2 \exp \left( -\frac{x^2}{a^2} \right) = \rho \frac{\hbar}{m} k_0$$

шамасына тең. Сонлықтан  $v_0 = \hbar k_0 / m$  шамасы бөлекшениң тезлигине, ал  $p_0 = mv_0 = \hbar k_0$  шамасы пакеттиң импульсине тең. Толқын функциясы тек бир бөлекшени тәрийиплейтуғын болғанлықтан

$$\int_{-\infty}^{\infty} \rho dx = 1$$

нормировка шәрти орынлы болады. Яғный

$$|A|^2 = \frac{1}{a \sqrt{\pi}}. \quad (17.5)$$

(17.3)- хәм (17.1)-аңлатпаларды пайдаланып (17.4)-аңлатпаны тегис толқынлар бойынша жайыу мүмкин:

$$\psi(x, 0) = \int_{-\infty}^{\infty} C(k) e^{ikx} dk. \quad (17.6)$$

Бул интеграл Фурье интегралы болып табылады. Бул аңлатпадан  $C(k)$  коэффициентлери былайынша табылады:

$$C(k) = \frac{1}{2\pi} \int_{-\infty}^{\infty} \psi(x, 0) e^{-ikx} dx = \frac{A}{2\pi} \int_{-\infty}^{\infty} \exp \left[ -\frac{x^2}{2a^2} + i(k_0 - k)x \right] dx.$$

Бул интегралды жақсы белгили болған

$$\int_{-\infty}^{\infty} e^{-z^2} dz = \sqrt{\pi} \quad (17.7)$$

формуласының жәрдеминде есаплап ең ақырында

$$C(k) = \frac{Aa}{\sqrt{2\pi}} \exp \left[ -\frac{1}{2} (k - k_0)^2 \right] \quad (17.8)$$

екенлигине ийе боламыз. Бул нәтижени Гейзенбергтің анықсызлық қатнастарын пайдаланған халда аңсат түсиніуе болады. Басланғыш халда (17.4)-аңлатпаға сәйкес бөлекшениң координатасының анықсызлығы  $\Delta x \approx a$  шамасына тең болады. Екинши тәрәптен (17.8)-аңлатпаның көрсеткеніндей толқын функциясына тийкарғы үлести  $k = k_0$  ноқатының этирапындағы кеңлиги  $\Delta k \approx 1/a$  шамасына тең  $k$  толқын санының спектри (ямаса кеңлиги  $\Delta p \approx \hbar/a$  шамасына тең  $p = \hbar k$  импульси спектри) береді. Демек  $a$  шамасының қалайынша сайлап алынғанлығынан фәрезсиз

$$\Delta x \cdot \Delta p \approx \hbar \quad (17.9)$$

қатнасы орын алады. Бул Гейзенбергтің анықсызлық қатнасы болып табылады.

$t = 0$  ўақыт моментіндеги  $C(k)$  амплитудасын анықлап (17.3)-антегралды қәлеген ўақыт моменти үшін есаплайға өте аламыз:

$$\psi(x, t) = \frac{Aa}{\sqrt{2\pi}} \int_{-\infty}^{\infty} \exp \left[ -\frac{1}{2} a^2 (k - k_0)^2 + ikx - i \frac{\hbar t}{2m} k^2 \right] dk.$$

Бул аңлатпадағы экспонентада  $k$  ның квадратлық формасы тур. Сонлықтан бул интегралды қайтадан (17.7) қәтелер интегралына алып келиўге болады. Нәтиже

$$\psi(x, t) = \frac{A}{\left(1 + i \frac{\hbar t}{ma^2}\right)^{1/2}} \exp \left[ -\frac{x^2 - 2ia^2 k_0 x + i \frac{\hbar t}{2m} k_0^2 a^2}{2a^2 \left(1 + i \frac{\hbar t}{ma^2}\right)} \right] \quad (17.10)$$

түрине ийе болады.

Енди тығызлық  $\rho$  менен  $s$  ағысын қәлеген ўақыт моментінде қарап бул әдеўир қурамалы аңлатпаны түсиніў қыйын болмайды. Бул жағдайда тығызлық мынаған тең:

$$\rho(x, t) = |\psi(x, t)|^2 = \frac{|A|^2}{\left[1 + \left(\frac{\hbar t}{ma^2}\right)^2\right]^{1/2}} \exp \left[ -\frac{\left(x - \frac{\hbar k_0}{m} t\right)^2}{a^2 \left[1 + \left(\frac{\hbar t}{ma^2}\right)^2\right]} \right]. \quad (17.11)$$

Координата  $x$  тың функциясы сыпатында ол қоңыраў тәризли иймеклик формасына ийе болады. Бирақ бул жағдайда оның максимумы  $x = 0$  ноқаттан  $x = (\hbar k_0 / m) t$  ноқатына аўысқан болады. Демек (17.10)-аңлатпа менен тәрийипленетуғын «толқынның дөңес» орны  $v_0 = \hbar k_0 / m$  тезлиги менен қозғалады (группалық тезлик бөлекшениң тезлигине тең). Соның менен бир қатарда (17.11)-экспонентадағы бөлшектің бөлими толқын пакетиниң кеңлигиниң  $t = 0$  моменттен баслап  $a$  шамасынан  $t = t$  ўақыт моментінде

$$a' = a \left[ 1 + \left( \frac{\hbar t}{ma^2} \right)^2 \right]^{1/2} \approx \frac{\hbar}{ma} t$$

шамасына шекем үлкейетуғынлығын көрсетеді. Бул эффектти (17.8)-спектрлик функцияның түринен аңсат түсиндириўге болады. Толқын санларының спектри  $\Delta k \approx 1/a$  шамасындағы кеңликке ийе болатуғын болғанлықтан ҳәр қыйлы толқынлардың тезликлери кеңлиги  $\Delta v = (\hbar/m) \Delta k = \hbar/ma$ Т шамасына тең областта жайылған. Сонлықтан пакет  $t$  ўақытқа пропорционал  $\Delta x = t \Delta v = (\hbar/ma) t$  шамасына кеңейеди. Бул нәтийжени жоқарыда тапқан едик.

Ағыс ушын аңлатпа (17.10)-аңлатпадан

$$\frac{\partial \psi}{\partial x} = ik_0 \frac{1 + i \frac{x}{a^2 k_0}}{1 + i \frac{\hbar t}{ma^2}} \psi$$

аңлатпасының жәрдемінде алынады. (17.11)-формула менен салыстырғаннан кейинги тиккелей есаплаўлар

$$s(x, t) = \rho(x, t) v_0 \frac{1 + \frac{\hbar t x}{ma^4 k_0}}{1 + \left( \frac{\hbar t}{ma^2} \right)^2} \quad (17.12)$$

формуласын береді. Буннан биз ықтыярлы ўақыт ушын  $s = \rho v_0$  теңлигине пүткиллей ийе болмайтұғынымызды көремиз (биз  $t=0$  моментинде усындай жағдайға ийе болған едик). Бул жағдай да тезликлер спектриниң шекли кеңлигиниң бар екенлигиниң нәтийжеси болып табылады.  $x_0 = v_0 t$  пакетиниң максимумы ушын (17.12)-теңлик те  $s = \rho v_0$  элементар қатнасына алып келеді. Екинши тәрәптен  $x \leq x_0$  ушын  $s \leq \rho v_0$  теңсизлигине ийе боламыз. Бул да ақылға толық жуўап береді. Себеби  $t$  моментине шекем  $x < x_0$  ( $x > x_0$ ) ноқатына тезлиги  $v_0$  шамасынан киши (үлкен) болған толқын пакетиниң бөлимлери ғана жетеді.

Ең ақырында  $\int \rho dx = 1$  нормировка шәртиниң ўақыттың барлық моментлери ушын (барлық ўақыт ушын) орынланатуғынлығын еске түсирип өтемиз. Бул заттың сақланыў нызамының көриниўи болып табылады.

## 18-мәселе. Турғын толқынлар

Бөлекше  $x = -a$  хәм  $x = +a$  ноқатларында жайласқан өткермейтуғын дийўаллардың арасына қойылған (дийўаллар усы шегараларға бөлекшелер келгенде күшли ийтерилиске ушыраўы ушын ойлап табылған идеализация болып табылады). Меншикли ҳалларды табыў хәм олардың қәсийетлерин таллаў керек.

**Шешими.** Стационар ҳаллар ушын биз

$$\psi(x, t) = u(x) e^{-i \frac{E}{\hbar} t} \quad (18.1)$$

функциясына ийе боламыз. Толқын функциясының кеңисликлик бөлеги  $u(x)$

$$u'' + k^2 u = 0 \quad (18.2)$$

Шредингер теңлемесін қанаатландырады. Бул аңлатпада

$$k^2 = \frac{2mE}{\hbar^2} \quad (18.3)$$

хәм ең улыўмалық жағдайда

$$u(x) = Ae^{ikx} + Be^{-ikx} \quad (18.4)$$

түрине ийе болады.

Өткизбейтуғын дийўаллардың болыўы

$$u(a) = 0, \quad u(-a) = 0 \quad (18.5)$$

шегаралық шәртлерин пайда етеди. Бул шәртлер

$$\int_{-a}^a |u(x)|^2 dx = 1 \quad (18.6)$$

нормировка шәрти менен квантлық механикада сайлап алыныўы ҳеш қашан регламентленбеген фазалық көбейтиўшини есапқа алмағанда меншикли функцияларды толық анықлаўға мүмкиншилик береді.

(18.4)-аңлатпаны (18.5)-аңлатпаға қойсақ  $A$  хәм  $B$  ларды анықлаў ушын бир текли теңлемелер системасын аламыз:

$$\begin{aligned} Ae^{ika} + Be^{-ika} &= 0, \\ Ae^{-ika} + Be^{ika} &= 0. \end{aligned}$$

Бул система тек анықлаўшы нолге тең болғанда ғана әпиўайы шешимге ийе болады:

$$\begin{vmatrix} e^{ika}e^{-ika} \\ e^{-ika}e^{ika} \end{vmatrix} = 0 \text{ ямаса } \sin 2ka = 0. \quad (18.7)$$

(18.7) шәртти тек

$$k_n = \frac{\pi}{2a} n, \quad n = \pm 1, \pm 2, \pm 3, \dots \quad (18.8)$$

формуласы менен анықланатуғын  $k_n$  коэффициентлериниң меншикли мәнислери ғана қанаатландырады. (18.7)-шәртти қанаатландыратуғын  $k=0$  мәниси (18.6)-нормировка шәртине қайшы келгенликтен итибарға алынбаўы керек. (18.3)- хәм (18.8)-аңлатпалардан энергияның меншикли мәнислери ушын

$$E_n = \frac{\hbar^2 k_n^2}{2m} = \frac{\hbar^2 \pi^2}{8ma^2} n^2 \quad (18.9)$$

формуласын аламыз.

(18.8)-аңлатпа тийкарында

$$e^{ik_n a} = e^{i \frac{\pi}{2} n} = i^n$$

теңдіклеріне ийе боламыз. Сонлықтан

$$B = (-1)^{n+1} A.$$

Егер  $n$  тақ сан болса  $B = A$  хәм нормировкаланған функциялар төмендегилерге тең:

$$u_n^+(x) = a^{-\frac{1}{2}} \cos k_n x = a^{-\frac{1}{2}} \cos \frac{\pi n x}{2a}, \quad n = \pm 1, \pm 3, \dots \quad (18.10a)$$

Егер  $n$  жуп сан болса  $B = -A$  хәм

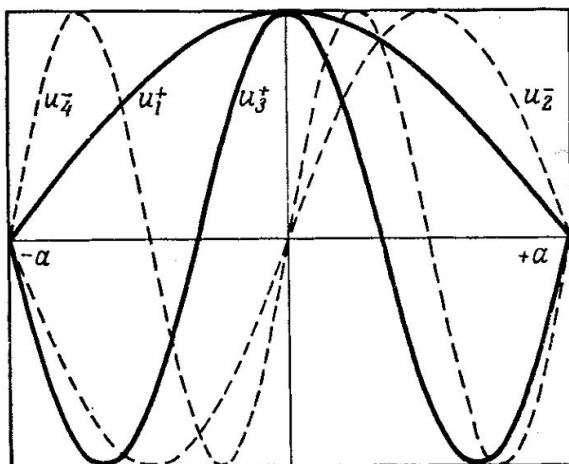
$$u_n^-(x) = a^{-\frac{1}{2}} \sin k_n x = a^{-\frac{1}{2}} \sin \frac{\pi n x}{2a}, \quad n = \pm 2, \pm 4, \dots \quad (18.10b)$$

$u_n$  функциялары [егер (18.10b) формуласындағы белгинің сезилерліктей өзгерісін есепке алмағанда]  $n$  нің белгисінен ғәрезсіз болғанлықтан оның ( $n$  нің) теріс мәніслерін итибарға алмауға болады. Сонлықтан (мысал ретінде) ең төменгі төрт халдың толқын функциялары төмендегидей болады:

$$\begin{aligned} n=1, \quad E_1 &= \frac{\hbar^2 \pi^2}{8ma^2}, \quad u_1^+ = a^{-\frac{1}{2}} \cos \frac{\pi x}{2a}, \\ n=2, \quad E_2 &= 4E_1, \quad u_2^- = a^{-\frac{1}{2}} \sin \frac{\pi x}{a}, \\ n=3, \quad E_3 &= 9E_1, \quad u_3^+ = a^{-\frac{1}{2}} \cos \frac{3\pi x}{2a}, \\ n=4, \quad E_4 &= 16E_1, \quad u_4^- = a^{-\frac{1}{2}} \sin \frac{2\pi x}{a}. \end{aligned} \quad (18.11)$$

Координата басындағы орайдағы инверсияға қатнасы бойынша меншикли функциялардың жуп ( $n$  тақ болғанда) ямаса тақ ( $n$  жуп болғанда) болатуғынлығын атап өтиў керек. Толқын функцияларының усындай қәсийети хәққында гәп еткенде халдың жуплығы хәққында гәп етеди: симметриялық толқын функциясы болған жағдайда жуплықты оң, ал қарама-қарсы жағдайда теріс деп есеплаймыз. Қабыл етилген ( $u_n^+, u_n^-$ ) белгилеулерінде жуплық жоқарғы « $+$ » хәм « $-$ » индексleri менен белгиленеди.

Биринши төрт меншикли функциялар 1-сүўретте көрсетилген.



1-сүйрет.

Шексиз бийик дийўалларға ийе бир өлшемли потенциал қутыдағы биринши төрт меншикли функциялар.

Меншикли функциялардың кеңисликлик бөлимлери ҳақыйқый болғанлықтан итималлықтың қосынды тоғы (результуирующий ток вероятности) ҳеш бир халда бар бола алмайды. Бул (18.4)-формулада  $|A| = |B|$  теңлигиниң орынланыўы менен байланыслы (16-мәселеде келтирилген таллаўларды еске түсириңиз). (18.4)-аңлатпадағы  $A$  ҳәм  $B$  амплитудаларына ийе толқынлар тоқлар менен импульслерге қарама-қарсы болған үлеслерди қосады. Сонлықтан энергияның дискрет меншикли мәнислерине тийисли гамильтонианның меншикли функциялары

$$p = \frac{\hbar}{i} \frac{\partial}{\partial x}$$

импульс операторының меншикли функциялары бола алмайды. Ҳақыйқатында да (18.10а) ҳәм (18.10б) аңлатпаларын дифференциаллаў синусоидалық шешимлердиң қайта тиклениўине алып келмейди, ал синусоидалық шешимлерди косинусоидалық шешимлер менен алмастырады. Импульстиң орташа мәнисин болса

$$\langle n | p | n \rangle = \frac{\hbar}{i} \int_{-a}^a u_n(x) \frac{\partial}{\partial x} u_n(x) dx$$

формуласының жәрдемінде есаплаўға болады. Барлық ҳаллар ушын бул интеграл жоғалады. Себеби интеграл белгиси астында турған аңлатпа  $x$  тың тақ функциясы болып табылады. Солай етип итималлық тоғының тығызлығының нолге айланыўына сәйкес  $\langle n | p | n \rangle = 0$  аңлатпасына ийе боламыз.

**Ескертиў:** Математикалық көз-қарастан бул мәселе тардың (струнаның) тербелиси ҳаққындағы классикалық мәселе болып табылады. Бирден бир айырма мынадан ибарат: квантлық механикада энергияның меншикли мәнислери квадратлық нызам бойынша өзгередиди. Ал классикалық физикада болса меншикли жийиликлер усындай нызам бойынша өзгередиди. Бирақ тербелислердиң классикалық энергиясы квантлық механикада ҳеш қандай аналогқа ийе емес. Себеби тербелислердиң классикалық энергиясы тербелислердиң амплитудасынан ғәрезли ҳәм амплитуда ықтыярлы мәниске ийе бола алмайды. Квантлық механикада болса толқын функциясының амплитудасы (18.6)-нормировка шәрти менен бөлекшелердиң саны бирге тең екенлиги жағдайы бойынша белгиленип алынған.



### 19-мәселе. Ярым өткеріуші дийұал (полупроницаемая перегородка)

18-мәселенің шәртлерине қосымша  $x=0$  ноқатына жуқа хәм шексиз бийик ярым өткеріуші дийұал орнатылған. Усы дийұалдың стационар халларға тәсирин анықлаңыз.

**Шешими.** Барлық областты теңдей еки областқа бөлип туратуғын ярым өткеріуші дийұалды  $2\varepsilon$  шекли кеңлигине хәм шекли  $V_0$  бийикликке ийе барьердин дара жағдайы сыпатында қараўға болады ( $x = -\varepsilon$  хәм  $x = +\varepsilon$  ноқатлары арасындағы). Қысқалық ушын

$$\frac{2mE}{\hbar^2} = k^2, \quad \frac{2m}{\hbar^2} (V_0 - E) = \kappa^2 \quad (6.3.1)$$

белгилеулерин киргиземиз. Еки  $u(\pm a) = 0$  шегаралық шәртинен басқа барьердин бар болғанлығы себепли биз және де төрт шегаралық шәртке ийе боламыз. Себеби  $u(x)$  хәм  $u'(x)$  функциялары  $x = \pm\varepsilon$  ноқатларында үзликсиз болыуы керек. Биринши еки шәртти қанаатландырып хәм шешимди ҳақыйқый формада алып

$$u = \begin{cases} A_1 \sin k(x+a), & -a \leq x \leq -\varepsilon, \\ Be^{-\kappa x} + Ce^{\kappa x}, & -\varepsilon \leq x \leq \varepsilon, \\ A_2 \sin k(x-a), & \varepsilon \leq x \leq a. \end{cases} \quad (6.3.2)$$

аңлатпаларына ийе боламыз.  $x = \pm\varepsilon$  ноқатларындағы үзликсизлик шәрти енди

$$u(-\varepsilon) = A_1 \sin k(a-\varepsilon) = Be^{\kappa\varepsilon} + Ce^{-\kappa\varepsilon}, \quad (19.3a)$$

$$u'(-\varepsilon) = kA_1 \cos k(a-\varepsilon) = \kappa(-Be^{\kappa\varepsilon} + Ce^{-\kappa\varepsilon}), \quad (19.3б)$$

$$u(+\varepsilon) = A_2 \sin k(\varepsilon-a) = Be^{-\kappa\varepsilon} + Ce^{\kappa\varepsilon}, \quad (19.3в)$$

$$u'(+\varepsilon) = kA_2 \cos k(\varepsilon-a) = \kappa(-Be^{-\kappa\varepsilon} + Ce^{\kappa\varepsilon}) \quad (19.3г)$$

теңлемелерин береді. (19.3a), (19.3б) хәм (19.3в), (19.3г) теңликлеринен  $A_1$  менен  $A_2$  ни жоғалтсақ сәйкес еки аңлатпа қалады

$$\begin{aligned} k \operatorname{ctg} k(a-\varepsilon) &= \kappa \frac{-Be^{2\kappa\varepsilon} - C}{Be^{2\kappa\varepsilon} + C}, \\ k \operatorname{ctg} k(a-\varepsilon) &= \kappa \frac{B - Ce^{2\kappa\varepsilon}}{B + Ce^{2\kappa\varepsilon}}. \end{aligned} \quad (19.4)$$

Теңлемелердин шеп тәреплери бир бирине тең болғанлықтан оң тәреплери де бир бирине тең болады. Ал теңлемелердин оң тәреплери бир бири менен тек  $B = \pm C$  болған жағдайда ғана тең болады.  $B = +C$  болған жағдайда (19.3a) хәм-(19.3в) теңликлеринен  $A_1 = -A_2$  екенлигине ийе боламыз хәм оң жуплыққа ийе шешим аламыз. Егер  $B = -C$  теңлиги орынланатуғын болса  $A_1 = A_2$  хәм бизлер терис жуплыққа ийе шешим аламыз. Демек буннан бурынғы мәселедегидей стационар халлар хәр қыйлы жуплық пенен характерленетуғын еки классқа бөлинеді екен.

Енди  $\kappa\varepsilon \rightarrow 0$  хәм

$$\kappa^2 \varepsilon = \Omega \quad (19.5)$$

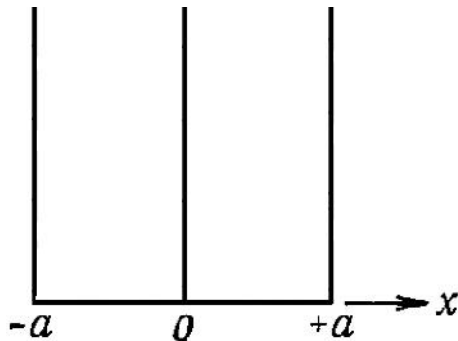
шамасы шекли болып қалатуғын  $\varepsilon \rightarrow 0$ ,  $\kappa \rightarrow \infty$  шегине өтемиз.  $\Omega$  шамасын дийўалдың өткізбеўшилиқ коэффициенті деп атаймыз. Себеби  $\Omega$  шамасының өсіўи менен дийўалдың өткеріўшилиғи кемейеди. Оң жуплықта ( $B = C$ ) (19.4)-қатнас оң тәрепин қатарға жайғанда

$$k \operatorname{ctg} ka = -\Omega \quad (19.6a)$$

аңлатпасын береді. Теріс жуплықта ( $B = -C$ ) жоқарыда келтирилгендей жоллар менен

$$k \operatorname{ctg} ka \rightarrow -\infty \quad (19.6b)$$

аңлатпасы алынады.



2-сүүрет.

Ярым өткеріўши дийўалға ийе потенциал қуты.

Екинши жағдай әдеўир әпиўайы. Меншикли функциялар дийўалда нолге айланады. Сонлықтан шешім мынадай түрге ийе болады:

$$u_n^-(x) = \begin{cases} A \sin k_n^-(x+a), & -a \leq x < 0, \\ A \sin k_n^-(x-a), & 0 < x \leq a, \end{cases} \quad (19.7a)$$

$$k_n^- a = n\pi, \quad n = 1, 2, 3, \dots,$$

$$u_n^-(-x) = -u_n^-(x), \quad |A|^2 = \frac{1}{a}.$$

(19.6a) теңлемеси болса, ол  $k_n^+$  меншикли мәнислерин тек санлы анықлаўға мүмкіншилиқ береді. Тек еки шеклик жағдай буған кирмейди:

1) толық (пүткиллей) өткермейтуғын дийўал ( $\Omega \rightarrow \infty$ ), бундай жағдайда меншикли мәнислер ушын (19.6b) теңлемесиндегидей нәтийже, яғный  $k_n^+ = n\pi$  нәтийжеси алынады;

2) толық өткеретуғын дийўал ( $\Omega = 0$ ), бундай жағдайда  $k_n^+ = \left(n - \frac{1}{2}\right)\pi$  нәтийжесине ийе боламыз.

Солай етип өткізбеўшилиқ коэффициенті шекли мәниске ийе болғанда  $k_n^+$  меншикли мәнислери  $k_n^-$  пенен  $k_{n-1}^-$  шамаларының арасында жатады, яғный оң хәм теріс жуплыққа ийе қәддилер гезеклеседи екен. Меншикли функцияларды

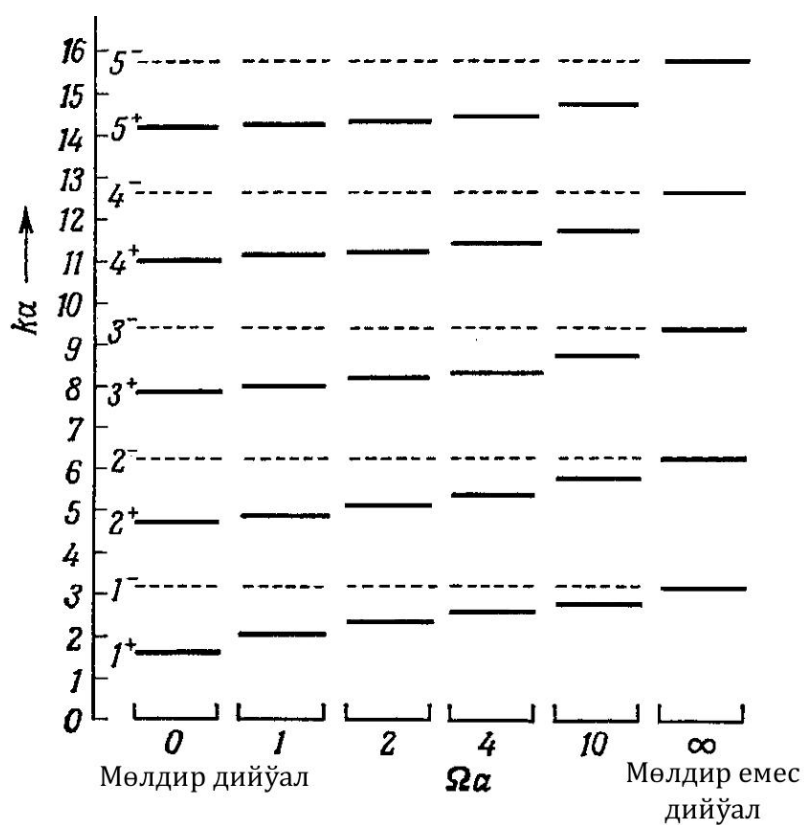
$$\begin{aligned}
 u_n^+(x) &= \begin{cases} -A \sin k_n^+(x+a), & -a \leq x < 0, \\ +A \sin k_n^+(x-a), & 0 < x \leq +a, \end{cases} \\
 \left(n - \frac{1}{2}\right)\pi &< k_n^+ a < n\pi, \quad n = 1, 2, 3, \dots, \\
 u_n^+(-x) &= u_n^+(x), \quad |A|^2 = \frac{2k_n^+}{2k_n^+ a - \sin 2k_n^+ a}.
 \end{aligned}
 \tag{19.76}$$

түрінде жазыу мүмкін. Олардың мәнісі  $x=0$  нокатында шекли хәм графиклерде сынықлар пайда болады.

Төменде келтирилген кестеде өлшем бирлигине ийе емес  $\Omega a$  параметриниң базы бир мәніслериндеги төменги халлар ушын (19.6a) теңлемесиниң жәрдеминде алынған  $k_n^+ a$  көбеймесиниң санлы мәніслери келтирилген:

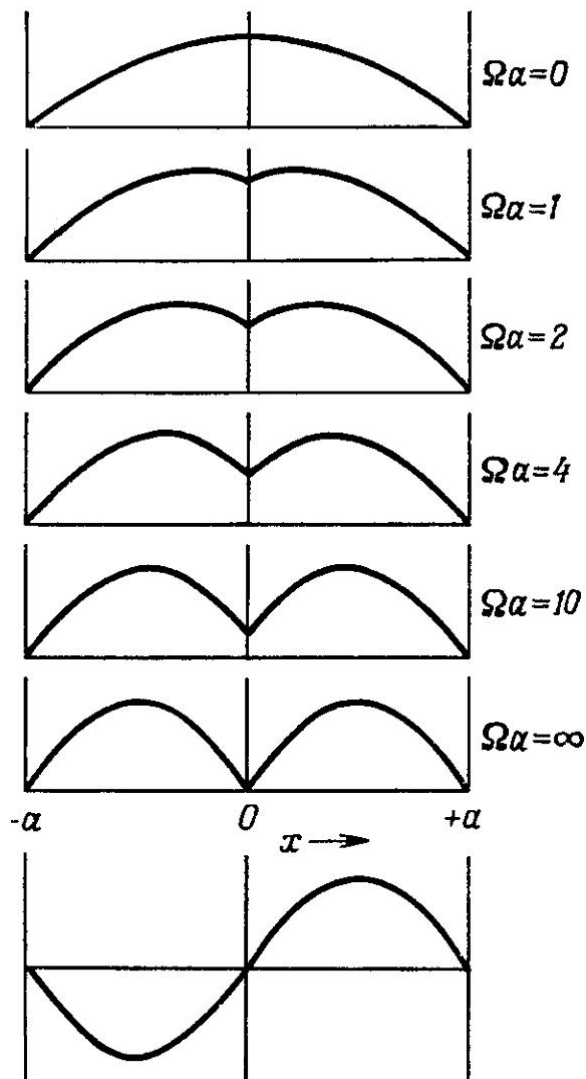
$\Omega a$	$n = 1$	$n = 2$	$n = 3$	$n = 4$	$n = 5$
0	1,571	4,712	7,854	10,996	14,187
$\frac{1}{4}$	1,715	4,765	7,886	11,018	14,155
$\frac{1}{2}$	1,835	4,816	7,917	11,040	14,171
1	2,023	4,925	7,979	11,085	14,208
2	2,282	5,091	8,097	11,173	14,276
4	2,568	5,361	8,305	11,335	14,408
10	2,866	5,763	8,711	11,704	14,734
$\infty$	3,142	6,283	9,425	12,566	15,708

Усындай жоллар менен алынған қәддилер 3-сүўретте көрсетилген. Бул сүўретте тутас сызықлар оң жуплыққа ийе халларға, ал пунктир сызықлар терис мәнісли жуплыққа ийе халларға тийисли. Бул сүўреттиң шеп тәрәпиндеги ең шетки қәддилер дийўал пүткиллей мөлдир болған ( $\Omega = 0$ ) жағдай ушын алынған. Бул жағдай 18-мәселеде соғылған сүўретке сәйкес келеди. Дийўал қанша мөлдир болған сайын, яғный сүўреттиң оң шетине жақынлаған сайын оң жуплыққа ийе қәддилер жоқары көтеріледі, ал терис мәнісли жуплыққа жуўап беретуғын қәддилер өзлериниң дәслепки ийелеген орынларында қалады. Бул жағдай жуп толқын функцияларының қәсийетлеринде де сәўлеленген. Мысал ретинде  $n = 1$  ушын бир усундай функция 4-сүўретте келтирилген (толқын функциялары нормировкаланбаған). Өткермейтуғын дийўал жағдайында ( $\Omega \rightarrow \infty$ ) ол  $x = 0$  нокатында нолге айланады хәм қутының еки тәрәпи бир биринен ғәрезсиз болады. Егер белгисине итибар бермесек қутының шеп тәрәпинде бул функция биринши тақ меншикли функцияға сәйкес келеди (4-сүўреттиң төменги бөлимінде көрсетилген). Солай етип  $\Omega \rightarrow \infty$  шегинде энергия қәддилери айныйды (3-сүўреттеги шетки оң жолақ).



3-сұйрет.  
Дийұалдың өткізбеушилик  
коэффициентиниң хәр  
қыйлы мәнислериндеги  
қәддилердиң  
жайласыұлары.

Тутас сызықлар оң  
жуплыққа ийе халлар, ал  
пунктирлик сызықлар терис  
мәнисли жуплыққа ийе  
қәддилер ушын.



4-сүрет.

Дийўалдың өткізбеушилик коэффициентинің хәр қыйлы мәнислеріндеги биринши еки стационар ҳаллардың толқын функциялары.

Жоқарысында 1<sup>+</sup> ҳалы, төменде 1<sup>-</sup> ҳалы.

## 20-мәселе. $\delta$ -тәризли потенциал барьердің ярым өткізгіш дийўалы

19-мәселедеги потенциал дийўалды Дирактың  $\delta$ -функциясының жәрдеминде де тәрийиплеў мүмкин. Бул жағдайда потенциалды

$$V(x) = \frac{\hbar^2}{m} \Omega \delta(x) \quad (20.1)$$

түрине ийе деп болжаймыз. Буның дурыс екенлигин дәлиллеңіз хәм усындай дийўалға байланысly келип шығатуғын шегаралық шәртлерди таллаңыз.

**Шешими.** Бизге

$$u'' + [k^2 - 2\Omega \delta(x)] u = 0 \quad (20.2)$$

Шредингер теңлемесин шешіў керек. Ең дәсле (20.2)-дифференциал теңлеме де,  $u(\pm a) = 0$  шегаралық шәрти де  $x \rightarrow -x$  инверсиясына қарата инвариант екенлигин көремиз. Демек дифференциал теңлеме хәм шегаралық шәртлер менен анықланатуғын бул мәселениң шешимлери жуплық операторының меншикли

функциялары ғана бола алады (жуплық операторы  $x$  шамасын  $-x$  шамасына айландырады). Бунның дурыслығына былайынша исениўге болады. Қәлеген  $u(x)$  функциясын еки бөлекке бөлиўге болады: жуп  $f(x) = f(-x)$  ҳәм тақ  $g(x) = -g(-x)$ . Сонлықтан

$$\begin{aligned} u(x) &= Af(x) + Bg(x), \\ u(-x) &= Af(x) - Bg(x). \end{aligned}$$

Егер  $u(x)$  функциясы бизиң мәселемиздиң шешими болатуғын болса,  $u(-x)$  шешими де бизиң мәселемиздиң шешими болады. Ал айныў (вырождение) болмайтуғын болғанлықтан шешим мультипликативлик турақлы дәллигине шекем (мысалы  $\alpha$  ге шекем) бир мәнисли болады. Демек

$$u(-x) = \alpha u(x)$$

ямаса

$$Af(x) - Bg(x) = \alpha [Af(x) + Bg(x)].$$

$f$  пенен  $g$  бир бирине сызықлы ғәрезсиз. Бул жағдайдың орын алыўы ушын  $A = \alpha A$  ҳәм  $B = -\alpha B$  теңликлериниң орынланыўы шәрт. Демек  $\alpha = 1$ ,  $B = 0$ , сонлықтан  $u(x)$  функциясы жуп функция болып табылады. Егер  $\alpha = -1$  болса  $A = 0$  ҳәм  $u(x)$  тақ функция болады.

Енди потенциал дийўал қасындағы жағдайларды үйренемиз. (20.2)-теңлемени дийўалдың тиккелей қасы областында интеграллағанда  $[u(x)]$  функциясын үзликсиз деп есаплаймыз]

$$u'(+0) - u'(-0) = 2\Omega u(0) \quad (20.3)$$

теңлемесине ийе боламыз. Басқа сөз бенен айтқанда

$$L(x) = \frac{u'(x)}{u(x)} \quad (20.4)$$

логарифмлик туўындысы дийўалда  $2\Omega$  шамасына тең секириўге ушырайды:

$$L(+0) - L(-0) = 2\Omega. \quad (20.5)$$

Солай етип 19-мәселеде пайдаланылған жеткиликли дәрежедеги қыйын процедураны потенциал дийўалдағы белгили дәрежедеги жасалма, бирақ жүдә апиўайы шегаралық шәрт пенен алмастырыўға болады екен. Бул шегаралық шәртти алыўымыздың себеби биз дифференциал теңлемениң потенциал дийўалдың тиккелей қасындағы қәсийетлерин ғана есапқа алыў болып табылады. Сонлықтан егер қосымша  $V(x)$  сингулярлық емес потенциал болған жағдайда да, басқа қәлеген орында қойылған шегаралық шәртлерде де бул теңлемени қанаатландыратуғынлығын атап өтемиз.

Енди меншикли функциялар ҳаққындағы мәселеге дыққат аўдарамыз. Егер  $u_n^-(x)$  тақ шешимлерине итибар беретугын болсақ, онда ол потенциал дийўалда нолге айланады, яғный  $u_n^-(0) = 0$ . Бирақ бул жағдайда (20.3)-теңликке байланыссыз түүында ҳеш қандай секирмели өзгериске ушырамайды, ал ол үзликсиз болады. Солай етип дийўалдың болыўы өткизбеушилик коэффициентиниң қандай болыўына байланыссыз тақ шешимлерге тәсир етпейди екен. Бул жағдай 19-

мәселедегі алынған нәтижелерге толық сәйкес келеді [(19.7а) — теңлікке қараңыз].

Екінші тәрептен зәрүрлік бойынша жуп шешімлер төмендегідей түрге ийе болуы керек:

$$u_n^+(x) = \begin{cases} -A \sin k_n^+(x+a), & -a \leq x < 0, \\ +A \sin k_n^+(x-a), & 0 < x \leq a. \end{cases} \quad (20.6)$$

Буннан

$$L(+0) = -k_n^+ \operatorname{ctg} k_n^+ a, \quad L(-0) = k_n^+ \operatorname{ctg} k_n^+ a$$

хәм сонлықтан (20.5)-шәрттиң күшине хәм (19.6а)-теңлемеге сәйкес

$$k_n^+ \operatorname{ctg} k_n^+ a = -\Omega.$$

Солай етип буннан кейингі таллаулар 19-мәселенің таллауын толық қайталайды.

## 21-мәселе. $\delta$ тәризлі потенциал барьердегі шашырау

$$V(x) = \frac{\hbar^2}{m} \Omega \delta(x) \quad (21.1)$$

потенциал барьерине шеп тәрептен энергиясы  $E$  шамасына тең болған бөлекшелер ағысы келип түссін. Барьердің бар болуының бул барьердің екі тәрепинен де «шағылысып» екі тәрепке қарай тарқалатуғын толқынлардың пайда болуына алып келетуғынлығын көрсетіңіз.

**Шешими.**  $x=0$  болған ноқаттың тиккелей қасынан басқа барлық орынларда Шердингер теңлемесинің улыұмалық шешимін былайынша жазамыз

$$u(x) = Ae^{ikx} + Be^{-ikx}, \quad k^2 = \frac{2mE}{\hbar^2}, \quad k > 0. \quad (21.2)$$

Бул теңлемеді  $A$  хәм  $B$  лар арқалы  $x < 0$  хәм  $x > 0$  областларында хәр қыйлы мәніслерге ийе константалар белгиленген. Бул константалардың мәніслерін сайлап алуы жолы менен (21.2)-шешиминің шегаралық шәртти қанаатландыратуғын жағдайға алып келиу мүмкін. Егер барьерге келип түсіуші толқынның амплитудасын 1 ге тең деп есаплап нормировканы сайлап алсақ, онда бизің шешимимизді басқаша жазу мүмкін

$$u(x) = \begin{cases} e^{ikx} + Be^{-ikx}, & x < 0, \\ (1+F)e^{ikx}, & x > 0. \end{cases} \quad (21.3)$$

Бул аңлатпаларда  $B$  хәм  $F$  сәйкес арқалы алдыға қарай хәм кейінге қарай шашыраған толқынлардың амплитудалары белгиленген.

(20.3)-теңлік бойынша  $x=0$  ноқатында  $u(x)$  функциясының қәсийетлери

$$u(+0) = u(-0) \quad \text{и} \quad u'(+0) - u'(-0) = 2\Omega u(0) \quad (21.4)$$

аңлатпасының жәрдемінде анықланады. Бул қатнастар  $B = F$  хәм

$$ik(1+F) - ik(1-B) = 2\Omega(1+B)$$

қатнасын береді. Сонлықтан ең ақырында

$$B = F = \frac{\Omega}{ik - \Omega} \quad (21.5)$$

формуласын аламыз.

(21.3) шешімде үш толқынды бір-бірінен айырыу мүмкін: интенсивлиги 1 ге тең келип түсіуші толқын, интенсивлиги  $|B|^2$  қа тең шашыраған толқын және интенсивлиги  $|1+F|^2$  қа тең барьерден өткен толқын. (21.5)-қатнастан

$$|B|^2 = \frac{\Omega^2}{\Omega^2 + k^2}, \quad |1+F|^2 = \frac{k^2}{\Omega^2 + k^2} \quad (21.6)$$

екенлигі келип шығады. Бул

$$1 = |B|^2 + |1+F|^2 \quad (21.7)$$

сақланыу нызамына (үзликсіздік теңлемесіне) алып келеді. Бул нызам бойынша өткен және шашыраған толқындардың интенсивліктерінің қосындысы келип түсіуші толқынның интенсивлігіне тең.

Егер потенциал барьер дерлік өткермейтуғын болса ( $\Omega \rightarrow \infty$ ), онда (21.5) ке байланысы  $B \approx -1$  және  $1+F \approx 0$ . Сонлықтан биз толық шағылысуға ийе боламыз. Егер потенциал барьер дерлік мөлдір болса ( $\Omega = \infty$ )

$$B = F \approx \frac{\Omega}{ik}$$

және шашыраған толқынның интенсивлігі бөлекшениң энергиясына кері пропорционал болып шығады. Әлбетте, бул жағдай бөлекшениң энергиясы жүде үлкен болған шеклерде орын алады және бөлекшениң энергиясы киші болғанда ( $k \ll \Omega$ ) бундай жағдай орын алмайды. Бизлер бул жерде Борнның бирінші жақынласуының дара жағдайын көреміз. Бул жақынласу тек жоқары энергияларда ғана дурыс. Бирақ анықлық ушын мына жағдайды атап өтиуиміз керек: кинетикалық энергияның  $V(x)$  потенциал энергияға салыстырғанда үлкен болуы пүткіллей талап етилмейді (гейде усындай талап қойылады). Жақыйқатында да, биз келтирген мысалда  $x=0$  ноқатында хәтте шексіз үлкен мәніске ийе болады.

Алға қарай және артқа (кейінге) қарай бағытланған толқындар ушын шашырау амплитудаларының теңлігі (21.1)-потенциалдың өзине тән белгиси болып табылады

## 22-мәселе. Симметриялы потенциал барьердегі шашырау

Энергиясы  $E$  болған бөлекшелер ағысы  $-a \leq x \leq a$  областында шекленген потенциалный барьерге келип түседі. Потенциал  $x$  тың төмендегідей жуп функциясы болсын:

$$V(x) = V(-x) \quad (22.1)$$

$x = \pm a$  ноқатларында алға және кейінге шашыраған толқындардың



амплитудасын толқын функциясының логарифмлик туындасы арқалы көрсетіу талап етиледі.

**Шешими.** (22.1)-симметрия шәртинен әхмийетли нәтийже келип шығады: энергия  $E$  ниң қәлеген мәнисинде Шредингер теңлемеси жуп

$$u_+(x) = u_+(-x), \quad u'_+(x) = -u'_+(-x) \quad (22.2a)$$

шешимине де, тақ

$$u_-(x) = -u_-(-x), \quad u'_-(x) = u'_-(-x) \quad (22.2б)$$

шешимине де ийе болады. Бул шешимлер сызықлы ғәрезсиз емес, сонлықтан улыўмалық шешимди ықтыярлы сызықлы комбинация сыпатында жазыу мүмкин.  $-a \leq x \leq a$  интервалында  $u_+$  пенен  $u_-$  дара шешимлерин  $x=0$  ноқатта

$$u_+(0) = 1, \quad u'_+(0) = 0$$

хәм

$$u_-(0) = 0, \quad u'_-(0) = 1$$

деп есаплап санлы усыллардың жәрдемінде де анықлау мүмкин. Әлбетте, бундай жағдайларда базислик шешимлердиң нормировкасы жеткиликли дәрежеде ықтыярлы түрде әмелге асырылады. Солай етип биз  $x=a$  ноқаттағы олардың логарифмлик туындыларын есаплауымыз мүмкин. Бул туындыларды өлшем бирликке хәм салыстырмалы нормировкаға ғәрезли емес түрде былайынша жаза аламыз

$$au'_+(a)/u_+(a) = L_+, \quad au'_-(a)/u_-(a) = L_- \quad (22.3)$$

$x=-a$  ноқатында логарифмлик туындылар  $au'_\pm(-a)/u_\pm(-a)$  (22.2)-аңлатпаға сәйкес  $-L_+$  хәм  $-L_-$  ге тең болады.

Шеп тәрәптен келип түсетуғын, амплитудасы 1 ге тең толқын ушын шешим мына түрге ийе болады:

$$u(x) = \begin{cases} e^{ikx} + Be^{-ikx}, & -\infty < x \leq -a, \\ C_1 u_+(x) + C_2 u_-(x), & -a \leq x \leq a, \\ (1+F)e^{ikx}, & a \leq x < \infty. \end{cases} \quad (22.4)$$

$x=\pm a$  ноқатларындағы  $u(x)$  хәм  $u'(x)$  функцияларының үзликсизлиги төмендегидей төрт шәртти береді:

$$e^{-ika} + Be^{ika} = C_1 u_+(a) - C_2 u_-(a), \quad (22.5a)$$

$$ik(e^{-ika} - Be^{ika}) = -C_1 u'_+(a) + C_2 u'_-(a), \quad (22.5б)$$

$$(1+F)e^{ika} = C_1 u_+(a) + C_2 u_-(a), \quad (22.5в)$$

$$ik(1+F)e^{ika} = C_1 u'_+(a) + C_2 u'_-(a). \quad (22.5г)$$

(22.5а)- хәм (22.5в)-теңликлерин қосып хәм (22.5б)-теңликтен (22.5г)-теңликти алсақ оң тәрәпте сәйкес  ${}^2C_1u_+(a)$  хәм  ${}^2C_1u'_+(a)$  функцияларын аламыз. Енди олардың қатнастарын алсақ

$$L_+ = ika \frac{-e^{-ika} + (1 + F + B) e^{ika}}{e^{-ika} + (1 + F + B) e^{ika}} \quad (22.6a)$$

аңлатпасын аламыз. Тап сол сыяқлы, бірақ белгилерин өзгертип исленген процедура

$$L_- = ika \frac{e^{-ika} + (1 + F - B) e^{ika}}{-e^{-ika} + (1 + F - B) e^{ika}} \quad (22.6б)$$

аңлатпасын береді. (22.6а)- хәм (22.6б)-теңлемелерин  $1 + F \pm B$  шамасына қарата шешсек хәм әпиұайылық ушын

$$ka = q \quad (22.7)$$

амплитудалар ушын төмендегидей аңлатпаларды аламыз:

$$B = -\frac{1}{2} e^{-2iq} \left[ \frac{L_+ + iq}{L_+ - iq} + \frac{L_- + iq}{L_- - iq} \right], \quad (22.8a)$$

$$1 + F = -\frac{1}{2} e^{-2iq} \left[ \frac{L_+ + iq}{L_+ - iq} - \frac{L_- + iq}{L_- - iq} \right]. \quad (22.8б)$$

Үзлексізлік теңлемесі тийкарында өткен хәм шағылысқан толқынлардың интенсивліктері келип түсіуші толқынның интенсивлигине тең болуы керек екенлігін күтіу шәрт. Хәқыйқатында да (22.8а)- хәм (22.8б)-қатнастардан

$$|B|^2 = \frac{(L_+ L_- + q^2)^2}{(L_+ L_- + q^2)^2 + q^2 (L_+ - L_-)^2}, \quad (22.9a)$$

$$|1 + F|^2 = \frac{q^2 (L_+ - L_-)^2}{(L_+ L_- + q^2)^2 + q^2 (L_+ - L_-)^2} \quad (22.9б)$$

формулалары келип шығады. Солай етип биз күтип атырған

$$|B|^2 + |1 + F|^2 = 1 \quad (22.10)$$

қатнасы сөзсіз орынланады.

Солай етип алға хәр артқа қарай шашыраған толқынлардың амплитудасын табыу проблемасы  $x = a$  нокатындағы жуп хәм тақ толқын функцияларының (22.3)-логарифмлік туындыларын табыуға алып келинеді екен. Әлбетте бул соңғы мәселені (22.1)-потенциал анық түрде берілмеген жағдайда шешиуге болмайды

21-мәселенің нәтижесиндегидей бул жағдайда  $B = F$  теңлигі ушын орын жоқ. Егер

$$q |L_+ - L_-| > |L_+ L_- + q^2|$$

теңсізлігі орынланатуғын болса алға қарай шашыраған толқын, ал қарама-қарсы жағдайда кейін қайтқан толқынның интенсивлігі жоқары болады.

### 23-мәселе. Туўры мүйешли барьерден шағылысыў

22-мәселеде алынған улыўма формуланы

$$\frac{2m}{\hbar^2} V(x) = k_0^2, \quad |x| \leq a \quad (23.)$$

түриндеги потенциаллық барьерге хәм бул интервалдың сыртындағы  $V=0$  потенциалына қолланыңыз. Өтиў коэффициентин есаплаңыз.

**Шешими.** Барьердин ишинде Шредингер теңлемеси былайынша жазылады:

$$u'' + (k^2 - k_0^2) u = 0. \quad (23.2)$$

Бул теңлема еки типтеги шешимге ийе болады: табалдырықтан киши болған потенциал энергия ушын ( $k < k_0$ ) хәм табалдырықтан жоқары болған кинетикалық энергия ушын ( $k > k_0$ ). Биз биринши жағдайдан баслаймыз.

$$k_0^2 - k^2 = \kappa^2. \quad (23.3)$$

Бундай жағдайда

$$u'' - \kappa^2 u = 0.$$

Сонлықтан жуп хәм тақ шешимлер ушын сәйкес

$$u_+(x) = \operatorname{ch} \kappa x, \quad u_+(0) = 1, \quad u'_+(0) = 0 \quad (23.4a)$$

хәм

$$u_-(x) = \frac{1}{\kappa} \operatorname{sh} \kappa x, \quad u_-(0) = 0, \quad u'_-(0) = 1 \quad (23.4b)$$

аңлатпаларына ийе боламыз. Демек

$$L_+ = au'_+(a)/u_+(a) = \kappa a \operatorname{th} \kappa a, \quad (23.5a)$$

$$L_- = au'_-(a)/u_-(a) = \kappa a \operatorname{cth} \kappa a. \quad (23.5b)$$

(22.96) формуласының жәрдемінде элементар түрлендириўлерден кейин өтиў коэффициенти ушын

$$T \equiv |1 + F|^2 = \frac{1}{1 + \left( \frac{k_0^2}{2k\kappa} \right)^2 \operatorname{sh}^2 2\kappa a} \quad (23.6)$$

формуласын аламыз.

Шағылысыў коэффициенти болса (22.10)-формуланың жәрдемінде алынады:

$$R \equiv |B|^2 = 1 - T. \quad (23.7)$$

Классикалық механикада келип түсіуші ағыс барьерде толық шағылысқан болар еді хәм биз  $|B|^2 = 1$  хәм  $|1 + F|^2 = 0$  теңліклерине ийе болған болар едик. (23.6)-формулаға сәйкес бул  $\kappa a \rightarrow \infty$  шәрти орынланғанда ғана, яғный бөлекшениң энергия қадди үстінде бийик "потенциал таў" пайда болғанда ғана жүзеге келген болар еді. Бул жағдайда өтиў коэффициенті жүдә киши шамаға, бирақ шекли мәниске ийе болған болар еді („туннель эффекти“). Оны жуўық түрде былайынша жазыў мүмкин

$$T = \frac{16k^2\kappa^2}{k_0^4} e^{-4\kappa a}. \quad (23.8)$$

Өтиў коэффициентиниң шамасының тәртиби тийкарынан экспоненциаллық көбейтиўши тәрпипен анықланады.

Ескертиў ретінде: Буннан былай экспонентаның көрсеткиши ушын ықтыярлы  $V(x)$  потенциалында биз интеграл түриндеги улыўма аңлатпа аламыз (16-мәселени қараңыз):

$$4\kappa a = 2 \int_{-a}^{+a} \sqrt{\frac{2m}{\hbar^2} (V - E)} dx.$$

Бөлекшениң кинетикалық энергиясының мәниси потенциал барьердиң бийиклигинен жоқары болса (23.3)-аңлатпаның жәрдемінде анықланған  $\kappa$  шамасы жормал шамаға айланады. Қолайлылық ушын

$$K^2 = k^2 - k_0^2 = -\kappa^2 \quad (23.9)$$

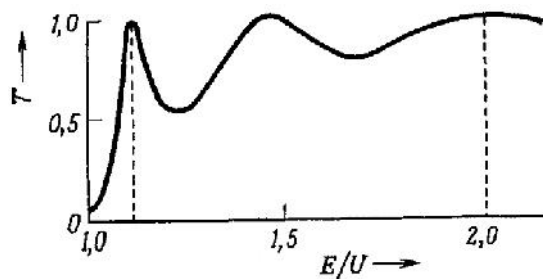
белгилеўин киргизип биз енди (23.6)-аңлатпаның орнына

$$T = \frac{1}{1 + \left(\frac{k_0^2}{2kK}\right)^2 \sin^2 2Ka} \quad (23.10)$$

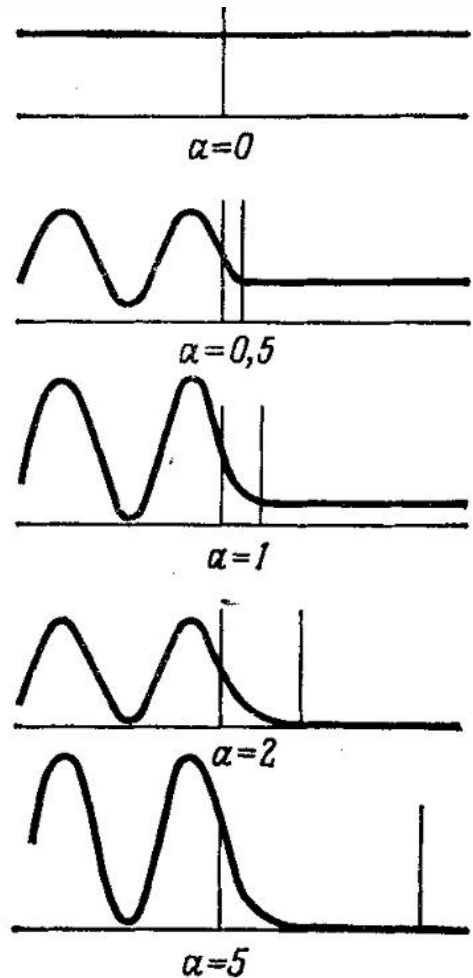
аңлатпасын жаза аламыз. Биз қарап атырған энергияларды классикалық механикада  $T = 1$  хәм  $R = 0$ , (23.10)-формула бойынша анықланған өтиў коэффициенті болса  $T = 1$  болған жағдайда тек  $2Ka = n\pi$  ( $n = 1, 2, 3, \dots$ ) болған жағдайда максимум мәнисине жеткен болар еді. Усындай максимумлар арасында  $2Ka = (n + 1/2)\pi$  нокатларында минимумлар жайласады. (23.10)-формуладағы синустағы көбейтиўши қанша киши болса бул минимумлар  $T = 1$  мәнисине жақын жайласады (басқа сөз бенен айтқанда потенциал барьердиң бийиклигине салыстырғанда бөлекшениң энергиясы қаншама үлкен болса).

Өтиў коэффициенті  $T$  шамасының энергияның барьердиң бийиклигине қатнасынан ғарезлиги (айтайық  $U$  шамасынан) 5-сүүретте келтирилген. Бул сүүретте  $2ka = 3\pi$  болған жағдай ушын  $T(E/U)$  функциясының графиги келтирилген. 6-сүүретте толқын функциясының қалайынша өзгеретуғынлығы көрсетилген: бул сүүретте итималлық тығызлығы  $|u|^2$  шамасының координата  $x$  тан ғарезлиги сәулелендирилген. Барьердиң оң тәрпипінде  $|u|^2 = |1 + F|^2$ , яғный итималлықтың тығызлығы турақлы шама, барьердиң шеп тәрпипінде болса келип түскен толқын менен шашыраған толқынлардың интерференциясы орын алады. 6-сүүретте хәр қыйлы кеңлікке ийе барьерлер ушын  $k^2 = \kappa^2 = 1/2 k_0^2$  болған жағдай сүүретленген. Барьер қаншама кең болса өткен толқынның интенсивлиги соншама киши хәм

интерференция қубылысы анық көринеди.



5-сұйрет. Өтиу коэффициенті  $T$  менен энергияның барьердің бийиклигине қатнасы арасындағы байланыс ( $E > U$  болған жағдай үшін)



6-сұйрет.  $E < U$  болған жағдайда шеп тәрептен тууры мүйешли барьерге келип түсетуғын бөлекшелер ағысы үшін  $|u|^2$  шамасының  $x$  координатасынан ғәрезлиги. Вертикал жайласқан сызықлар жубы жәрдемінде барьердің кеңлиги  $a$  белгиленген. Барьердің шеп тәрәпиндеги осцилляция келип түсіуші хәм шашыраған толқынлардың интерференциясынан пайда болған.

## 24-мәселе. Шағылысыу инверсиясы

Мейли  $0 < x < a$  областта  $V(x) > 0$  потенциал барьер түріндеги тосқынлыққа шеп тәрәпинен толқын келип түсетуғын болсын. Потенциалдың формасынан ғәрезсиз толқын оң тәрәптен келип түсетуғын болса да шашыратуу коэффициентинің тап сондай мәниске ийе болатуғынлығын көрсетиңиз.

**Шешими.** Мейли  $u(x)$  пенен  $v(x)$  функциялары  $0 < x < a$  областы үшін вронскианы

$$uv' - v u' = 1 \quad (24.1)$$

болған Шредингер теңлемесінің бір биринен ғәрезсіз екі хақыйқый шешими болсын. Шеп тәрептен келип түсетуғын толқын ушын толқын функциясы

$$\psi = \begin{cases} e^{ikx} + Re^{-ikx}, & x < 0, \\ Au(x) + Bv(x), & 0 < x < a \\ Ce^{ik(x-a)}, & x > a, \end{cases} \quad (24.2)$$

түрине ийе болады хәм  $x=0$  менен  $x=a$  ноқатларындағы  $\psi$  хәм  $\psi'$  функцияларының үзликсизлиги

$$\begin{aligned} 1 + R &= Au(0) + Bv(0), \\ ik(1 - R) &= Au'(0) + Bv'(0), \\ Au(a) + Bv(a) &= C, \\ Au'(a) + Bv'(a) &= ikC \end{aligned} \quad (24.3)$$

аңлатпаларын береді. (24.1)-аңлатпаның жәрдеминде соңғы екі теңлемелер жубынан

$$\begin{aligned} A &= C[v'(a) - ikv(a)], \\ B &= -C[u'(a) - iku(a)] \end{aligned} \quad (24.4)$$

аңлатпаларын табамыз.  $A$  хәм  $B$  ушын табылған аңлатпаларды (24.3)-теңлемелер системасының биринши жубына қойсақ

$$1 + R = (p_{0a} - iq)C, \quad 1 - R = (p_{a0} - ir)C \quad (24.5)$$

аңлатпаларына ийе боламыз. Бул аңлатпаларда жазыўды қысқартыў ушын мынадай белгилеўлер қабыл етилген:

$$\begin{aligned} p_{0a} &= u(0)v'(a) - v(0)u'(a), \\ p_{a0} &= u(a)v'(0) - v(a)u'(0), \\ q &= k[u(0)v(a) - v(0)u(a)], \\ r &= \frac{1}{k}[u'(0)v'(a) - v'(0)u'(a)]. \end{aligned} \quad (24.6)$$

(24.5)-қатнастың жәрдеминде ең ақырында мынадай аңлатпаға ийе боламыз:

$$R = \frac{(p_{0a} - p_{a0}) - i(q - r)}{(p_{0a} + p_{a0}) - i(q + r)}. \quad (24.7)$$

Сонлықтан шағылыстырыў коэффициенті ушын

$$|R|^2 = \frac{(p_{0a} - p_{a0})^2 + (q - r)^2}{(p_{0a} + p_{a0})^2 + (q + r)^2} \quad (24.8)$$

түріндегі аңлатпаны аламыз.

Енди келип түсіўши толқын барьерге оң тәрептен келип түсетуғын болсын. Буның ушын (24.2) толқын функциясын

$$\tilde{\psi} = \begin{cases} \tilde{C}e^{-ikx}, & x < 0, \\ \tilde{A}u(x) + \tilde{B}v(x), & 0 < x < a, \\ e^{-ik(x-a)} + \tilde{R}e^{ik(x-a)}, & x > a \end{cases} \quad (24.9)$$

аңлатпасы менен алмастырыў жеткиликли. Енди үзликсизлик шәрти мынаны береді:

$$\begin{aligned} 1 + \tilde{R} &= \tilde{A}u(a) + \tilde{B}v(a), \\ -ik(1 - \tilde{R}) &= \tilde{A}u'(a) + \tilde{B}v'(a), \\ \tilde{A}u(0) + \tilde{B}v(0) &= \tilde{C}, \\ \tilde{A}u'(0) + \tilde{B}v'(0) &= -ik\tilde{C}. \end{aligned} \quad (24.10)$$

Бул теңлемелердиң структурасы (24.3)-теңлемелердиң структурасы менен бирдей. (24.10)-теңлемелерди (24.3)-теңлемелерден  $k$  ны  $-k$  ға алмастырыў ҳәм  $a$  аргументи менен 0 ди орын алмастырыў жолы менен алыў мүмкин. Бундай түрлендириўлерди (24.6)-қатнастарға қоллансақ

$$p_{0a} \rightarrow p_{a0}, \quad p_{a0} \rightarrow p_{0a}, \quad q \rightarrow q, \quad r \rightarrow r \quad (24.11)$$

өзгерислерин береді. Солай етип ең ақырғы формулалар (24.7) менен (24.8) ден тек  $p_{0a}$  менен  $p_{a0}$  диң орынларының алмасқанлығы менен ғана айрылады екен. (24.8)-аңлатпа  $p_{0a}$  менен  $p_{a0}$  шамаларына қарата симметриялы болғанлықтан шағылыстырыў коэффициенті

$$|\tilde{R}|^2 = |R|^2 \quad (24.12)$$

шеп тәрәптен келип түсетуғын толқын ушын да, оң тәрәптен келип түсетуғын толқын ушын да бирдей мәниске ийе болады. Бирақ бул  $R$  амплитудасы ушын мәниске ийе болмайды. Хақыйқатында да (24.7)-теңлик  $\alpha$  ҳәм  $\beta$  комплексли санларының  $R = \alpha/\beta$  қатнасы түринде жазылғанда (24.11)-қатнасқа сәйкес  $\tilde{R} = -\alpha^*\beta$  түрине түрленеди.

## 25-мәселе. Туўры мүйешли потенциал шуқыр

$$V(x) = \begin{cases} -U, & |x| \leq a, \\ 0, & |x| > a \end{cases} \quad (25.1)$$

туўры мүйешли потенциал шуқыр бар болған жағдай ушын байланысқан ҳалларды ҳәм усындай ҳаллар менен байланыссы болған меншикли мәнислерди табыңыз.

**Шешими.** Буннан бурын қарап шығылған еки мәселениң нәтийжелери оң мәнисли энергияға ийе ҳаллардың қәсийетлерин қыйыншылықсыз үйрениўге мүмкиншилик береді. Сонлықтан бизге байланысқан ҳалларға сәйкес келиўши терис энергиялар жағдайын қарап шығыў жеткиликли.

Потенциал  $V(x) = V(-x)$  инверсиясына қарата инвариант. Сонлықтан шешимлердиң жуп ямаса тақ болыўы шәрт (20-мәселеге қараңыз).

$$E = -\frac{\hbar^2 \kappa^2}{2m}, \quad U = \frac{\hbar^2 k_0^2}{2m}, \quad k^2 = k_0^2 - \kappa^2 \quad (25.2)$$

деп есаплап бул шешимлерди былайынша жазыўға болады:

Жуп шешимлер:

$$\begin{aligned}
 u_+(x) &= \begin{cases} A_+ \cos kx, & 0 \leq x \leq a, \\ A_+ \cos ka e^{\kappa(a-x)}, & x > a, \end{cases} \\
 u_+(-x) &= u_+(x), \\
 \frac{1}{A_+^2} &= \frac{1}{k} [ka + \sin ka \cos ka] + \frac{1}{\kappa} \cos^2 ka;
 \end{aligned} \quad (25.3a)$$

Тақ шешимлер:

$$\begin{aligned}
 u_-(x) &= \begin{cases} A_- \sin kx, & 0 \leq x \leq a, \\ A_- \sin ka e^{\kappa(a-x)}, & x > a, \end{cases} \\
 u_-(-x) &= -u_-(x), \\
 \frac{1}{A_-^2} &= \frac{1}{k} [ka - \sin ka \cos ka] + \frac{1}{\kappa} \sin^2 ka.
 \end{aligned} \quad (25.3б)$$

Жоқарыда потенциал шуқырдың ишиндеги хәм сыртындағы амплитудалардың мәніси  $u(x)$  функциясы  $x=a$  ноқатында үзликсиз болатуғындай етип сайлап алынған. Нормировкалаушы турақлы

$$\int_{-\infty}^{\infty} |u|^2 dx = 1$$

шәртиниң жәрдемінде анықланған еди.  $u'$  дың  $x=a$  ноқатында үзликсиз болыуы талабы және бир шәртти береді:

Жуп

$$-k \sin ka = -\kappa \cos ka \quad (25.4a)$$

ямаса

$$\operatorname{tg} ka = \frac{\kappa}{k}; \quad (25.4б)$$

Тақ

$$k \cos ka = -\kappa \sin ka \quad (25.5a)$$

ямаса

$$\operatorname{ctg} ka = -\frac{k}{\kappa}. \quad (25.5б)$$

(25.4)- хәм (25.2)-аңлатпалардың жәрдемінде нормировкаланған турақлылар ушын келтирип шығарылған аңлатпаларды еки жағдайда да бирдей теңлик алынатугындай етип әпиұайыластыруу мүмкин:

$$\frac{1}{A_{\pm}^2} = a + \frac{1}{\kappa}. \quad (25.5)$$

(25.4)-теңлемелерден меншикли мәнислерди табыу ушын бул теңлемелердің оң тәрәпиндеги шаманы (25.2)-аңлатпа менен алмастырамыз хәм



$$C = k_0 a \quad (25.6)$$

белгилеуін киргиземиз. Нәтийжеде төмендегилерди аламыз:

Жуп:

$$\operatorname{tg} ka = \frac{\sqrt{C^2 - (ka)^2}}{ka} \quad (25.7a)$$

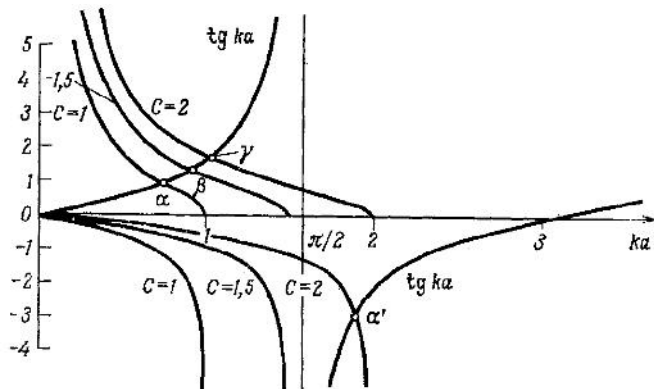
хәм тақ:

$$\operatorname{tg} ka = - \frac{ka}{\sqrt{C^2 - (ka)^2}}. \quad (25.7б)$$

Потенциалдың берілген мәнісінде  $C$  шамасы турақлы, оның мәніси шуқырдың өлшемлеринен ( $C^2 \sim Ua^2$ ) ғана ғәрезли. Ал (25.7a)- хәм (25.7б) теңлемелери  $ka$  ның барлық мәніслерин, соның менен бирге энергияның берілген өлшемлердеги шуқырда жүзеге келетуғын барлық

$$E = -U \left[ 1 - \left( \frac{ka}{C} \right)^2 \right] \quad (25.)$$

мәніслерин анықлауға мүмкиншилик береді.



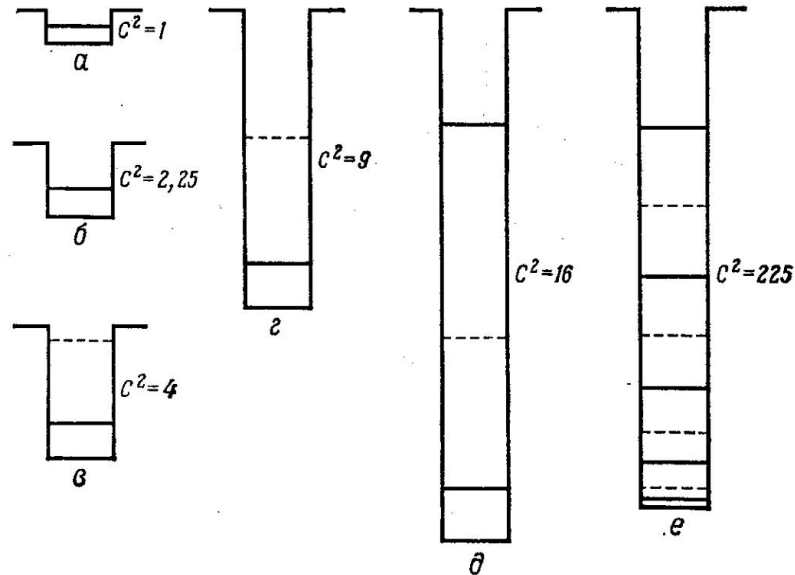
7-сүүрет.

(25.7a) хәм (25.7б) теңлемелериниң графикалық шешими.

Сүүретте теңлемелердин оң тәреплериниң  $C$  параметриниң хәр қандай мәніслериндеги иймекликлердин тангенсоида  $\operatorname{tg} ka$  менен кесилисиў ноқатлары көрсетилген. Оң ординаталарға ийе иймекликлер оң ҳалларға, ал терис ординаталарға ийе иймекликлер тақ ҳалларға тийисли.

7-сүүретте  $\operatorname{tg} ka$ , соның менен бирге (25.7a) хәм (25.7б) сүүреттиң оң бөлимлери  $ka$  шамасының функциясы сыпатында көрсетилген. Меншикли мәніслер соңғы еки иймекликтин тангенсоида менен кесилисиў ноқатының абсциссасы сыпатында табылады. Бул иймекликлер шуқырдың өлшемлери тәрепинен анықланатуғын  $C$  параметринен ғәрезли. Мысалы  $C = 1$  мәнісинен баслап биз жуп жағдайда  $\alpha$  арқалы белгиленген бир кесилисиў ноқатын анықлаймыз. Тақ жағдайында болса биз бир де ноқатты ала алмаймыз. Демек бундай өлшемлерге ийе шуқырда оң жуплыққа ийе тек бир ғана байланысқан ҳал жүзеге келеди екен. Бул шуқыр сәйкес қәдди менен  $8,а$  сүүретте келтирилген. Үлкен өлшемлерге ийе шуқыр ушын ( $C = 1,5$ ) 7-сүүреттеги иймекликлер  $\beta$  ноқатында кесилиседі. Тап бурынғыдай тек бир оң жуплыққа ийе ҳал болады (8,6 сүүрет). Қала берсе  $-(ka)_\beta > (ka)_\alpha$  теңсизлиги орынлағанлықтан  $E_\beta < E_\alpha$ . Егер шуқырдың өлшемин және де үлкейтсек (мысалы  $C = 2$  шамасын алсақ), онда  $\gamma$  ноқатындағы кесилисиў оң жуплыққа ийе еле де төменирек ҳалды береді ( $E_\gamma < E_\beta$ ). Бирақ усы айтылғанлардан басқа оған  $\alpha'$  ноқатындағы кесилисиўге сәйкес келетуғын тақ жуплыққа ийе ҳал қосылады (8-в сүүрет). Шуқырдың өлшемлериниң буннан былай өсиуі менен оның «сыйдырғышлығы» артады (8 г—е сүүретлер):  $C$

ның өсиіуі менен оң хәм терис жуплыққа ийе гезеклесип жайласқан халлардың сериясын пайда етип байланысқан халлардың саны да сызықты түрде өседі. Меншикли функциялар болса, олар улыұмалық қағыйдаға бағынады: оларда ноллер қаншама көп болса, онда олардың энергиялар шкаласындағы ийелеген орны соншама жоқары болады. Төрт төменги халлардың толқын функциялары  $C = 5$  болған жағдай ушын 9-сұуретте көрсетілген.



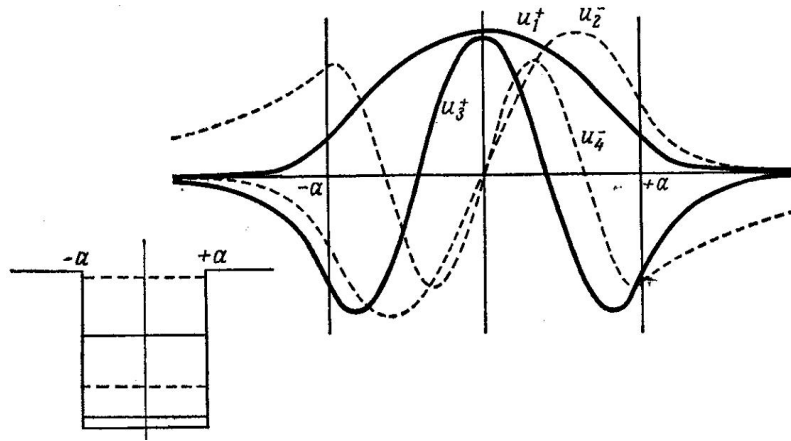
8-сұурет.  $C$  характеристикалық параметриниң хәр қыйлы мәнислеріндеги энергия қәддилери (a - e).

Тутас сызықлар – оң жуплыққа ийе халлар, пунктир сызықлар – терис жуплыққа ийе халлар.

Классикалық механикада бөлекше шуқырды шеклеп турған дийұаллар арасында ( $x = \pm a$  ноқатлары арасында) энергияның қәлеген мәнисинде тербеле алған болар еди. Шуқырдың сыртында оның кинетикалық энергиясы терис мәниске ийе болған болар еди. Сонлықтан шуқырдан сырттағы область классикалық жақтан жетиўге болмайтуғын область болып табылады. Квантлық механикада болса биз бундай қатаң түрде қойылған шеклеўге ийе болмаймыз. Шуқырдың сыртында бөлекшени табыўдың итималлығы  $P_i$  бирден (1 ден) киши болады:

$$P_i = \int_{-a}^{+a} |u|^2 dx = 1 - \frac{k^2}{k_0^2(1 + \kappa a)}. \quad (25.9)$$

Солай етип бөлекшениң шуқырдың сыртында жайласыуының итималлығы нолге тең емес екен. Шуқырдан сырттағы шекли интервал ушын итималлық бөлекше менен шуқырдың арасындағы қашықтықтың үлкейіуі менен экспоненциал түрде кемейеди.



9-сүүрет.  $C = 5$  болған жағдай ушын энергия қаддилери хәм меншикли функциялар. Тутас сызықлар — оң жуплыққа ийе ҳаллар, пунктир сызықлар – тақ жуплыққа ийе ҳаллар.

## 26-мәселе. Еки шексиз дийўаллар арасындағы туўры мүйешли потенциал шуқыр

10-сүүретте келтирилген потенциал ушын Шредингер теңлемесиниң шешимлерин табыңыз.  $l \rightarrow \infty$  шегиндеги оң мәнисли энергияға ийе ҳалларды айрықша түрде қараңыз.

**Шешими.**  $E < 0$  болған «байланысқан» ҳалларды тезлик пенен қараўдан баслаймыз. (25.2)-теңлик пенен анықланған бурынғы  $k^2$ ,  $k_0^2$  хәм  $\kappa^2$  ларды хәм

$$\int_{-l}^{+l} |u|^2 dx = 1$$

нормировка шәртин пайдаланып толқын функцияларын төмендегидей етип жаза аламыз:

Жуп:

$$u_+ = \begin{cases} A_+ \cos kx, & 0 \leq x \leq a, \\ A_+ \frac{\cos ka \operatorname{sh} \kappa (l-x)}{\operatorname{sh} \kappa (l-a)}, & a \leq x \leq l, \end{cases} \quad (26.1a)$$

$$\frac{1}{A_+^2} = \frac{1}{k} [ka + \sin ka \cos ka] + \frac{\cos^2 ka}{\kappa} \left[ \operatorname{ctg} \kappa (l-a) - \frac{\kappa (l-a)}{\operatorname{sh}^2 \kappa (l-a)} \right];$$

Тақ:

$$u_- = \begin{cases} A_- \sin kx, & 0 \leq x \leq a, \\ A_- \frac{\sin ka \operatorname{sh} \kappa (l-x)}{\operatorname{sh} \kappa (l-a)}, & a \leq x \leq l, \end{cases} \quad (26.1b)$$

$$\frac{1}{A_-^2} = \frac{1}{k} [ka - \sin ka \cos ka] + \frac{\sin^2 ka}{\kappa} \left[ \operatorname{cth} \kappa (l-a) - \frac{\kappa (l-a)}{\operatorname{sh}^2 \kappa (l-a)} \right].$$

Бул жерде де 25-мәселедегидей  $u(x)$  функциясының  $x=a$  ноқатындағы үзликсизлигин есапқа алдық. Бирақ бул ноқаттағы  $u'(x)$  туўындысының үзликсизлиги талабы бизге қосымша шәрт қояды:

Жуп

$$\operatorname{tg} ka = \frac{\kappa}{k} \operatorname{cth} \kappa (l-a), \quad (26.2a)$$

тақ

$$\operatorname{tg} ka = -\frac{k}{\kappa} \operatorname{th} \kappa (l-a). \quad (26.26)$$

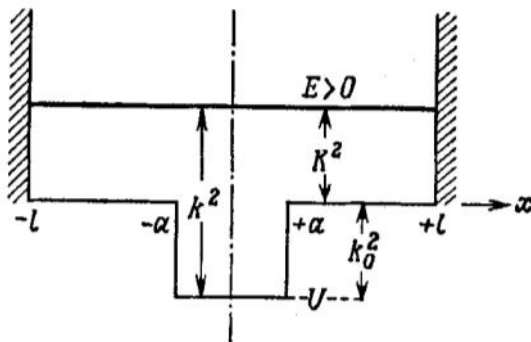
Бул аңлатпалар меншикли мәніслерди есаплауға мүмкіншилик береді. бірақ биз буннан былай майда-шүйделерине тереңлеспейміз хәм

$$\kappa (l-a) \gg 1$$

шәрти орынланғанда гиперболалық функцияның екеўиниң де 1 ге тезден умтылатуғынлығын аңғарамыз. Бундай жағдайда (26.2a) хәм (26.26) теңлемелери алдыңғы мәселениң меншикли мәніслер ушын жазылған (25.4a) хәм (25.46) аңлатпаларына, ал  $1/A_{\pm}^2$  ушын (26.1a) хәм (26.16) нормировка қатнастары сәйкес (25.3a) хәм (25.36) қатнастарына өтеді. Толқын функцияларының өзлери ушын жазылған (26.1a)- хәм (26.16)-аңлатпаларда  $|x| < l$ , бірақ  $\kappa(l-x) \gg 1$  шәрти орынланғанда, яғный тап солай етип (25.3a)- хәм (25.36)-толқын функцияларына және де қайтып келип

$$\frac{\operatorname{sh} \kappa (l-x)}{\operatorname{sh} \kappa (l-a)} \approx e^{\kappa (a-x)}$$

деп алыуға болады.



10-сүўрет.

Оң мәнісли энергияларға ийе ҳаллар ҳаққындағы мәселе әдеўир кызық мәселе болып табылады.  $l$  диң шекли мәніслеринде,  $l$  диң өсиўи менен пайда болатуғын қәддилердиң тығыз системасын пайда ететуғын дискрет меншикли мәніслер бар болады. Бул система  $l \rightarrow \infty$  шегинде континуумға өтеді.  $E > 0$  ниң орнына жаңа

$$E = \frac{\hbar^2 K^2}{2m}, \quad K^2 = -\kappa^2 = k^2 - k_0^2 \quad (26.3)$$

өзгериўшисин киргизип биз толқын функцияларын мына түрде жазыўымыз мүмкин:

Жуп

$$u_+ = \begin{cases} A_+ \cos kx, & 0 \leq x \leq a, \\ A_+ \frac{\cos ka}{\sin K(l-a)} \sin K(l-x), & a \leq x \leq l, \end{cases} \quad (26.4a)$$

$$\frac{1}{A_+^2} = \frac{1}{k} [ka + \sin ka \cos ka] - \frac{\cos^2 ka}{K} \left[ \operatorname{ctg} K(l-a) - \frac{K(l-a)}{\sin^2 K(l-a)} \right];$$

Тақ

$$u_- = \begin{cases} A_- \sin kx, & 0 \leq x \leq a, \\ A_- \frac{\sin ka}{\sin K(l-a)} \sin K(l-x), & a \leq x \leq l, \end{cases} \quad (26.46)$$

$$\frac{1}{A_-^2} = \frac{1}{k} [ka - \sin ka \cos ka] - \frac{\sin^2 ka}{K} \left[ \operatorname{ctg} K(l-a) - \frac{K(l-a)}{\sin^2 K(l-a)} \right].$$

Бул аңлатпалар бойынша  $u(x)$  функциясы енди үзлексіз, ал оның туыңдысы  $u'(x)$  болған функциясының үзлексізлігі және де шәрт береді:

жун

$$\operatorname{tg} ka = \frac{K}{k} \operatorname{ctg} K(l-a), \quad (26.5a)$$

тақ

$$\operatorname{tg} ka = -\frac{k}{K} \operatorname{tg} K(l-a). \quad (26.56)$$

Бул шәртлер меншикли мәніслерди есаплауға мүмкіншілік береді. Бул шәртти пайдаланып биз  $1/A_\pm^2$  шамалары ушын жазылған нормировкалаушы аңлатпалардағы екінші қаўсырмалардағы  $\operatorname{ctg} K(l-a)$  ны алмастыра аламыз. Нәтийжеде мына аңлатпаларды аламыз:

$$\begin{aligned} \frac{1}{A_+^2} = & \frac{1}{k} [ka + \sin ka \cos ka] + \\ & + (l-a) \left( \cos^2 ka + \frac{k^2}{K^2} \sin^2 ka \right) - \frac{k}{K^2} \sin ka \cos ka \end{aligned} \quad (26.6a)$$

хәм

$$\begin{aligned} \frac{1}{A_-^2} = & \frac{1}{k} [ka - \sin ka \cos ka] + \\ & + (l-a) \left( \sin^2 ka + \frac{k^2}{K^2} \cos^2 ka \right) + \frac{k}{K^2} \sin ka \cos ka. \end{aligned} \quad (26.66)$$

Егер  $l \rightarrow \infty$  шәрти орынланатуғын болса, онда бул аңлатпалардағы екінші ағза шексіз үлкейеді. Сонлықтан

$$\begin{aligned} \frac{1}{A_+^2} & \approx l \left( \cos^2 ka + \frac{k^2}{K^2} \sin^2 ka \right), \\ \frac{1}{A_-^2} & \approx l \left( \sin^2 ka + \frac{k^2}{K^2} \cos^2 ka \right). \end{aligned} \quad (26.7)$$

Бирақ усы жағдайға қарамастан шуқырдың сыртындағы амплитуданы (26.4a) хәм (26.46) аңлатпаларынан тиккелей алыуға болады:

$$\frac{\sin^2 K(l-a)}{A_+^2 \cos^2 ka} \rightarrow l, \quad \frac{\sin^2 K(l-a)}{A_-^2 \sin^2 ka} \rightarrow l. \quad (26.8)$$

Сонлықтан  $x > a$  шәрти орынланғанда толқын функциясы

$$u_\pm = \frac{1}{\sqrt{l}} \sin K(l-x) \quad (26.9)$$

түріне ийе болады. Бул жерде  $l$  шамасы елге шекем толқын функциясының фазасына киреди. Бирақ оны меншикли мәніслерди анықлайтуғын (26.5a)- хәм (26.56)-теңлемелердің жәрдеминде жоғалтыў мүмкин:

жуп

$$Kl = \operatorname{arctg} \left( \frac{\frac{K}{k} + \operatorname{tg} ka \operatorname{tg} Ka}{\operatorname{tg} ka - \frac{K}{k} \operatorname{tg} Ka} \right), \quad (26.9a)$$

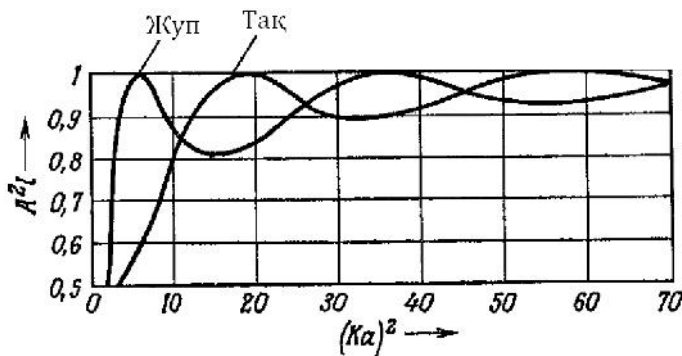
тақ

$$Kl = \operatorname{arctg} \left( \frac{\operatorname{tg} Ka - \frac{K}{k} \operatorname{tg} ka}{1 + \frac{K}{k} \operatorname{tg} ka \operatorname{tg} Ka} \right). \quad (26.96)$$

Бул толқын функциялар системасының ең көзге тасланатуғын айырмашылығы олардың энергия қәддилеринен ибарат. Энергия қәддилеринің тығызлығын  $l$  диң жүдә үлкен, бирақ шекли мәніслери ушын (26.5a) хәм (26.56) теңлемелерден табыў мүмкин.  $Kl$  өзгериўшиси кеңлиги  $\pi$  ге тең интервалда өзгергенде бул теңлемелердің оң тәрәпи ҳақыйқый көшер бойынша -  $\infty$  тен  $+\infty$  ке шекем өзгереди. Теңлемениң екеўиниң де бул интервалда тек бир шешими болады. Сонлықтан биз бир биринен орташа  $\Delta K = \pi/(2l)$  шамасындағы қашықлықта жайласқан гезеклесип жайласқан жуп хәм тақ қәддилерге ийе боламыз ( $K$  өзгериўшиси шкаласында). (26.3)-аңлатпаға сәйкес энергия шкаласындағы қәддилер арасындағы орташа қашықлық

$$\Delta E = \frac{\hbar^2}{m} K \frac{\pi}{2l} = \frac{\pi}{l} \sqrt{\frac{\hbar^2}{2m} E} \quad (26.10)$$

шамасына тең. Солай етип избе-из жайласқан қәддилер арасындағы орташа қашықлық тек  $E^{1/2}$  шамасына пропорционал хәм нормировкалаўшы интервалдың узынлығына кери пропорционал өседи екен. Демек  $l \rightarrow \infty$  шегинде дискрет энергия спектри үзликсиз спектрге айланады екен.



11-сүүрет.  
Үзликсиз спектрдеги виртуаллық  
халлар.

$k_0 a \equiv C = 2$  болған жағдай ушын амплитуданың өзгериў өзгешелиги 11-сүүретте келтирилген. Өлшем бирлигине ийе емес  $A^2 l$  шамасы шуқырдың сыртындағы барлық областта бирдей мәніске ийе, ал  $l$  шамасы үлкен болғанда шуқырдың ишиндеги амплитуданың квадратының өлшемин береди. Бул шаманың  $(Ka)^2$  шамасынан ғәрезлигиниң графиги, яғный бирликсиз шамалардағы энергияның мәнісинен ғәрезлиги (26.7)-формуланың жәрдеминде қурылған. Энергияның избе-

из мәніслерінің шексіз көп саны бар. Олар үшін  $A^2I$  шамасы 1 ге тең максималлық мәністи қабылдайды. Максимумлар арасында энергия үлкен болған сайын хәлсіз көрінетуін амплитуданың минимумлары жатады (11-сұйреттегі ордината көшерінің төменгі жартысының көрсетілмегенлігіне итибар бериңіз). Амплитуданың максимумына сәйкес келетуін энергияларда энергияның мәнісі оң болса да биз қарап атырған халлар байланысқан халлардың базис бір белгілерін еле де сақлайды. Себебі бул халларда шуқыр ийеленген обласстағы мүмкін болған толқын функцияларының максималлық концентрациясы алынады. Усындай себепке байланыссы виртуаллық халлар халқында гәп етиледі (терис энергияға ийе «хақықый» байланысқан халларға қарама-қарсы мәністе).

## 28-мәселе. Дәуірлі потенциал

Дәуірлі потенциал бар болған жағдайдағы толқын функциялары менен энергия спектри арасындағы улығмалық қатнастарды алыңыз.

**Шешими.** Егер  $V(x)$  арқалы дәуірі  $a$  шамасына тең дәуірлі функция берілген болса, онда Шредингер теңлемесі  $a$  еселенген барлық трансляцияларға қарата инвариант болады:

$$V(x+a) = V(x), \quad x \rightarrow x+na, \quad n=0, \pm 1, \pm 2, \dots \quad (28.1)$$

$u_1(x)$  хәм  $u_2(x)$  арқалы Шредингер теңлемесінің сызықты ғәрезсіз шешімлері болсын. Бундай жағдайда  $u_1(x+a)$  хәм  $u_2(x+a)$  функциялары да сол теңлемесінің шешімлері болады. Қәлеген шешімді  $u_1(x)$  хәм  $u_2(x)$  функцияларының сызықты комбинациясы түрінде қарайға болғанлықтан, бул жағдай  $u_1(x+a)$  хәм  $u_2(x+a)$  функциялары үшін да орынлы болады:

$$\begin{aligned} u_1(x+a) &= C_{11}u_1(x) + C_{12}u_2(x), \\ u_2(x+a) &= C_{21}u_1(x) + C_{22}u_2(x). \end{aligned} \quad (28.2)$$

Енди усы шешімлердің ишінде бир бири менен

$$\psi(x+a) = \lambda\psi(x) \quad (28.3)$$

аңлатпасының жәрдемінде байланысқан  $\psi_1$  хәм  $\psi_2$  шешімлері де бар болатуғынлығын (Флоке теоремасы) дәлиллейге болады. Бул аңлатпада  $\lambda$  арқалы турақты көбейтүүші белгіленген. Бул жағдайда

$$\psi(x+na) = \lambda^n \psi(x), \quad n=0, \pm 1, \pm 2, \dots \quad (28.3a)$$

шәртинің орынланатуғынлығы айқын. Биз излеген дәлиллей мына түрге ийе болады:

$$\psi(x) = Au_1(x) + Bu_2(x) \quad (28.4)$$

хәм (28.2)-аңлатпаға сәйкес

$$\psi(x+a) = (AC_{11} + BC_{21})u_1(x) + (AC_{12} + BC_{22})u_2(x).$$

Егер

$$\begin{aligned} AC_{11} + BC_{21} &= \lambda A, \\ AC_{12} + BC_{22} &= \lambda B \end{aligned} \quad (28.5)$$

теңдіктері орынланатынын болса, онда соңғы аңлатпа  $\lambda \Psi(x)$  шамасына тең болады.

$A$  және  $B$  шамаларына қарата (28.5)- екі бір теклі сызықты алгебралық теңдемелер системасы тек ғана

$$\begin{vmatrix} C_{11} - \lambda & C_{21} \\ C_{12} & C_{22} - \lambda \end{vmatrix} = 0 \quad (28.6)$$

детерминанты нөлге тең болғанда ғана құрамалы емес шешімдерге ийе болады. Бул  $\lambda$  шамасына қарата квадрат теңleme болып, оның түбірлері  $\lambda_1$  менен  $\lambda_2$  ге екі  $\psi_1$  және  $\psi_2$  функциялары сәйкес келеді.

(28.3)-формуладан

$$D = \psi_1 \psi_2' - \psi_2 \psi_1'$$

Вронский детерминантының (Вронский детерминанты деп  $\psi_1 \psi_2' - \psi_2 \psi_1'$  түріндегі детерминантқа айтамыз)

$$D(x+a) = \lambda_1 \lambda_2 D(x)$$

қантасын қанаатландыратуғынлығын көріуге болады. Грин теоремасы бойынша Вронский детерминанты  $x$  тан ғәрезли емес, сонлықтан

$$\lambda_1 \lambda_2 = 1 \quad (28.7)$$

қатнасы келип шығады.

$\lambda_1$  менен  $\lambda_2$  параметрлері хақында толығырақ мағлыұматларды (28.3а) теңлігін қарап алыұға болады. Мейли  $|\lambda| > 1$  болсын. Бундай жағдайда толқын функциясы  $\psi$  диң амплитудасы  $x \rightarrow \infty$  та шексиз үлкейеди және  $x \rightarrow -\infty$  де шексиз кемейеди. Егер  $|\lambda| < 1$  теңсизлігі орынланса қарама-қарсы жағдай орын алады. Бундай шешімлер нормировкаланбайды. Сонлықтан физикалық мәніслерге ийе шешімлер тек  $|\lambda| = 1$  теңлігі орынланған жағдайда ғана, яғный

$$\lambda_1 = e^{iKa} \quad \text{және} \quad \lambda_2 = e^{-iKa} \quad (28.8)$$

орын алады. Бул аңлатпаларда  $K$  арқалы хақыйқый шама белгиленген.  $e^{2\pi i n} = 1$  болғанлықтан  $K$  шамасының

$$-\frac{\pi}{a} \leq K \leq \frac{\pi}{a} \quad (28.9)$$

интервалында жатқан мәніслері менен шеклениуге болады. Бул жағдай бизге мүмкин болған барлық толқын функцияларын береді. Солай етип  $\Psi(x)$  тың барлық шекленген шешімлері ушын

$$\Psi(x+na) = e^{inKa} \Psi(x) \quad (28.10)$$

аңлатпасына ийе боламыз. Бул жағдай  $\Psi(x)$  функциясы тек



$$\psi(x) = e^{iKx} u_K(x) \quad (28.11)$$

түрге ийе болғанда ғана жүзеге келеді. Бул аңлатпада  $u_K(x)$  арқалы дәуірлі функция, яғный

$$u_K(x) = u_K(x+a) \quad (28.12)$$

түріндегі функция белгиленген. Бул нәтиже Блох теоремасының мазмұнын құрайды.

Енді энергия спектри мәселесіне келеміз.  $0 \leq x \leq a$  интервалында (28.4) аңлатпасы үшін ісленгендей қандай да  $u_1$  хәм  $u_2$  шешімлерінен  $\psi$  үшін шешімді жазыуымыз керек. Дәуірліліктің қоңсы  $a \leq x \leq 2a$  интервалы үшін (28.10)-формулаға сәйкес

$$\psi(x) = e^{iKa} [Au_1(x-a) + Bu_2(x-a)] \quad (28.13)$$

формуласын аламыз. Бунда аргументтің  $x-a$  мәнісі алдыңғы интервалға түседі. Бул интерваллардың шегарасында, яғный  $x=a$  ноқатында (28.4) хәм (28.13) аңлатпалардың өзлери де, олардың туыңдылары да бір бирине сәйкес келиуі керек:

$$\begin{aligned} Au_1(a) + Bu_2(a) &= e^{iKa} [Au_1(0) + Bu_2(0)], \\ Au_1'(a) + Bu_2'(a) &= e^{iKa} [Au_1'(0) + Bu_2'(0)]. \end{aligned} \quad (28.14)$$

Бул  $A$  хәм  $B$  ға қарата бір текли теңлемелер системасы детерминанты нолге тең болған жағдайда ғана шешімге ийе болады:

$$\begin{vmatrix} u_1(a) - e^{iKa}u_1(0) & u_2(a) - e^{iKa}u_2(0) \\ u_1'(a) - e^{iKa}u_1'(0) & u_2'(a) - e^{iKa}u_2'(0) \end{vmatrix} = 0.$$

Детерминантты ашып биз ең ақырында

$$\cos Ka = \frac{[u_1(0)u_2'(a) + u_1(a)u_2'(0)] - [u_2(0)u_1'(a) + u_2(a)u_1'(0)]}{2(u_1u_2' - u_2u_1')} \quad (28.15)$$

қатнасына келеміз. Бул аңлатпаның бөлімінде аргументтің қалеген мәнісінен алынған вронскиан тур (вронскиан константа болғанлықтан оның айқын мәнісін көрсетіу шәрт емес).

(28.15)-теңлеме меншикли мәніслердің бар болыуы шәрти болып табылады. Егер теңлемениң оң тәрәпинің абсолют шамасы бирден артық болмаса бул теңлемениң жәрдемінде  $K$  шамасын есаплайға болады. Бул шәртти қанаатландыратуғын энергияның мәніслерінің көп санлы интерваллары бар. Соның менен бирге бул шәрт қанаатландырылмайтуғын да энергияның көп санлы интерваллары бар. Солай етип энергия спектри айырым қәддилерден турмайды, ал руқсат етилген хәм қадаған етилген энергия зоналардың гезеклескен избе-излігінен турады. (28.15)-аңлатпаға сәйкес энергия зоналарының шегарасы  $\cos Ka = \pm 1$  қатнасынан анықланады.

**Ескертиу:**  $u_1$  хәм  $u_2$  шешімлерін сызықлы ғәрезсиз болған қалеген  $u_1$  хәм  $u_2$  сызықлы ғәрезсиз болған қалеген шешімлері жубы менен алмастырыуға болатуғын болғанлықтан (28.15)-теңлемени тап сондай табыс пенен  $v$

функциясы арқалы да жазыуға болады. Бирақ ол да тап сол энергия зоналарына алып келиуі керек. Буның дурыслығына (28.15)-теңлемеге

$$u_1 = c_{11}v_1 + c_{12}v_2, \quad u_2 = c_{21}v_1 + c_{22}v_2$$

аңлатпаларын қойып исениуіге болады. Қурамалы емес есаплаулар  $v$  функциясын пайдаланғанда егер  $\|c_{ik}\|$  детерминанты нолге айланбайтуғын болғанда  $u$  функциясын пайдаланғанда алынған нәтижелердің алынатуғынлығын көрсетеді.

## 29-мәселе. Дирак потенциал тарағы

Дирактың  $\delta$ -функциясының избе-излигинен туратуғын дәуірли потенциал берілген (қоңсылас айрықша ноқатлар арасындағы интервал турақлы хәм  $a$  шамасына тең):

$$V(x) = \frac{\hbar^2}{m} \Omega \sum_{n=-\infty}^{\infty} \delta(x + na). \quad (29.1)$$

Энергияның руқсат етилген мәнислеринен туратуғын зоналарды анықлаңыз.

**Шешими.**

$$u_1(x) = e^{ikx} \text{ хәм } u_2(x) = e^{-ikx} \quad (29.2)$$

түріндегі фундаменталлық шешимлерден баслаймыз.

Егер  $0 \leq x \leq a$  интервалында шешим

$$u(x) = Ae^{ikx} + Be^{-ikx} \quad (29.3)$$

түрине ийе болса, онда қоңсылас  $a \leq x \leq 2a$  интервалында шешим (28-мәселеге қараңыз)

$$u(x) = e^{iKa} [Ae^{ik(x-a)} + Be^{-ik(x-a)}] \quad (29.4)$$

түрінде болады.  $x = a$  ноқатында

$$\begin{aligned} u(a+0) &= u(a-0), \\ u'(a+0) &= u'(a-0) + 2\Omega u(a) \end{aligned} \quad (29.5)$$

шегаралық шәртлериниң орынланыуы керек. Сонлықтан

$$e^{iKa} (A + B) = Ae^{ika} + Be^{-ika} \quad (29.6a)$$

хәм

$$ike^{iKa} (A - B) = ik(Ae^{ika} - Be^{-ika}) + 2\Omega(Ae^{ika} + Be^{-ika}). \quad (29.6b)$$

(29.6a) хәм (29.6b) теңлемелер  $A$  хәм  $B$  шамаларына қарата бир текли сызықлы теңлемелер системасы болып табылады. Оның детерминанты нолге айланыуы керек. Әпиуайы түрлендириулер

$$\cos Ka = \cos ka + \frac{\Omega}{k} \sin ka \quad (29.7)$$

теңлигин береді. Демек энергияның руқсат етилген зоналары

$$\left| \cos ka + \frac{\Omega}{k} \sin ka \right| \leq 1 \quad (29.8)$$

ямаса

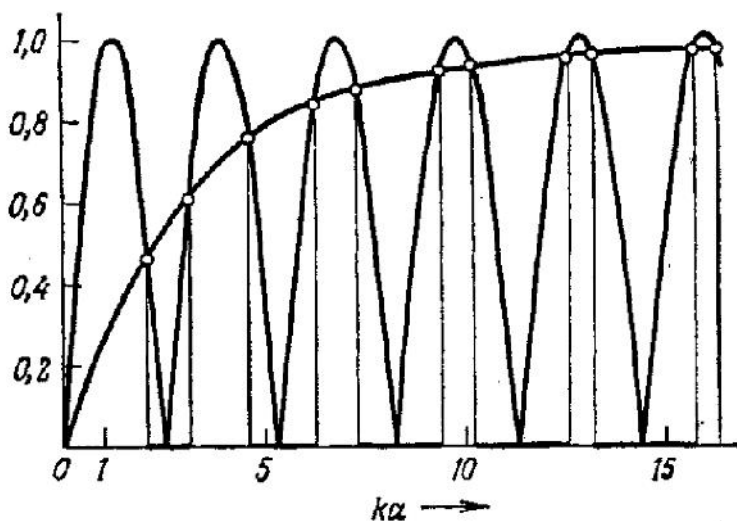
$$\left| \cos \left( ka - \arctg \frac{\Omega a}{ka} \right) \right| \leq \frac{1}{\sqrt{1 + (\Omega a/ka)^2}} \quad (29.9)$$

теңсізлігінің жәрдеминде, ал энергияның меншикли мәніслері

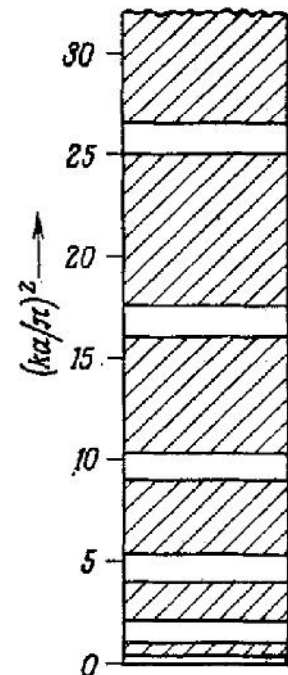
$$E = \frac{\hbar^2}{2ma^2} (ka)^2 \quad (29.10)$$

формуласының жәрдеминде анықланады.

15—18 сұйреттерде  $\Omega a = 4$  болған жағдай үшін орынланған есаплаулардың нәтижелері келтірілген. (29.9)-теңсізліктің оң және шеп тәрепінде тұрған  $ka$  шамасының функциялары 15-сұйретте көрсетілген.

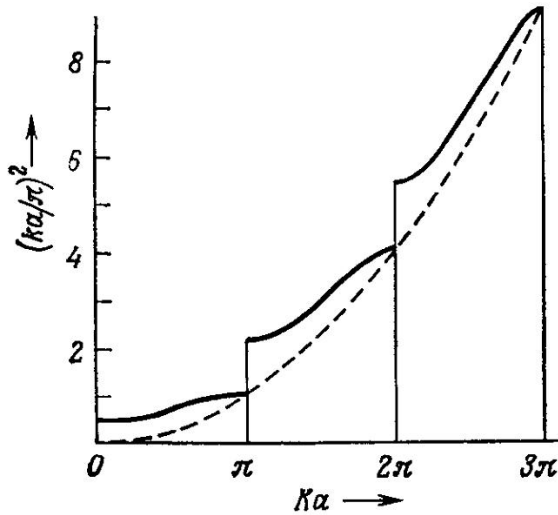


15-сұйрет. Зоналық структураны графикалық анықтау

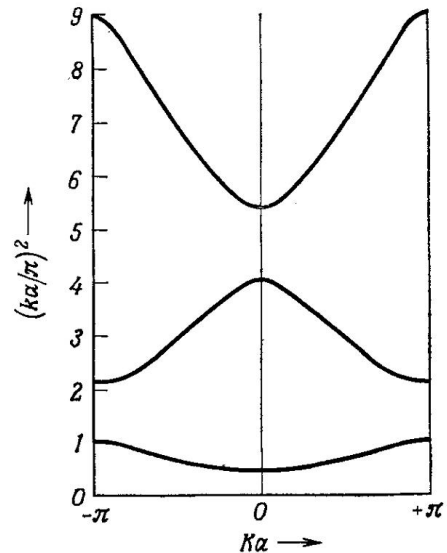


16-сұйрет. Дирак потенциал тарағы орын алғандағы зоналық структура.

Сәйкес иймекліклердің кесілісіуі нәқатлары киші дөңгелеклер менен аңлатылған, ал (29.9)-теңсізлік орынланатуғын интерваллар  $ka$  көшерінде жуған сызықтар менен белгіленген.



17-сүрөт. Биринши үш зона ушын (Бриллюэннің бир өлшемли зоналары) энергияның  $Ka$  шамасынан ғәрезлиги. Пунктир сызық пенен еркин бөлекшениң энергиясына жууап беретугын парабола белгиленген.



18-сүрөт. Энергияның  $Ka$  өзгериушисинен ғәрезлиги.

Зоналардың жоқарғы шегарасында  $\pi$  еселенген нокатлар сәйкес келеди. (29.7)-теңлемеге сәйкес бул нокатларда  $\cos Ka = \cos ka$ . 15-фигураның жәрдеминде энергиялық шқалада табылған зоналардың ийелеген орынлары 16-сүрөтте келтирилен. Бул сүрөтте руқсат етилген энергия зоналары штрихланған. Энергияның артыуы менен руқсатетилген зоналар кеңейеди. Сонлықтан энергия спектри үзликсиз спектрге жақынласады. Бирақ сонда да руқсат етилген зоналар үзликсиз спектрге толығы менен айланбайды: хәтте ең жоқары энергияларда да барлық ўақытта жоқарыдан  $ka = n\pi$  нокатларына тийисетуғын қадаған етилген зоналар болады. 17- хәм 18-сүрөттерде биринши үш зона ушын энергияның (өлшеми жоқ бирликлердеги)  $Ka$  шамасынан ғәрезлиги көрсетилген. 17-сүрөтте  $Ka$  өзгериушиси бир зонадан екинши зонаға өткенде монотонлы түрде өседи, ал 18-сүрөтте болса оның өзгериси  $-\pi \leq Ka \leq \pi$  интервалы менен шекленген. 17-сүрөттеги пунктир сызық руқсат етилген зоналардың жоқарғы шегараларына сәйкес келетуғын нокатынан өтетуғын  $K = k$  параболасын көрсетеди.

Келтирилген сүрөттердин барлығы да  $\Omega a = 4$  болған жағдайға тийисли. Сонлықтан сол сүрөттер бойынша дийўалдың өткизгишлигиниң энергия спектрине тәсири хәққында хеш нәрсе айтыўға болмайды.  $\Omega a$  ның киши мәнислери ушын (29.9) теңсизликтиң оң тәрәпи 1 ге тезирек жақынласады хәм 15-сүрөттеги сәйкес иймеклик косинусоиданы усы косинусоиданың максимумына жақын нокатларда кеседи. Бул қадаған етилген зоналардың қалыңлығының кемейетуғынлығын көрсетеди. Руқсат етилген зоналардың жоқарғы шегарасының ийелейтуғын орны ( $ka = n\pi$  нокатлары)  $\Omega a$  дан ғәрезсиз болғанлықтан усы шаманың киширейиуи менен 16-сүрөтте бул зоналардың төменги шегараларының ғана төменге қарай жылжыйтуғынлығы көринип тур.  $\Omega a = 0$  теңлиги орынланғанда қадаған етилген зоналар пүткиллей жоғалады. Усының менен бирге бизиң потенциалымыз да жоғалады. Бул жағдайда биз еркин қозғалысқа хәм соған сәйкес үзликсиз спектрге келемиз. Екинши тәрәптен, егер  $\Omega a \rightarrow \infty$  шәрти орынланатуғын болса руқсат етилген зоналар  $ka = n\pi$  дискрет қәддилерге айланады. Бул жағдайда дийўаллар потенциал шуқырларды бир биринен толығы менен изоляциялайды хәм биз қарап атырған спектр 18-мәселениң спектрине айланады. Тек ғана биз хәзир

қарап атырған мәселеде дийўаллар арасындағы қашықлық  $a$  шамасына тең, ал 18-мәселеде дийўаллар арасындағы қашықлық  $2a$  ға тең еди.

### 30-мәселе. Гармоникалық осциллятор

$$V(x) = \frac{1}{2} m \omega^2 x^2 \quad (30.1)$$

осцилляторлық потенциалы бар жағдайдағы меншикли мәнислерди хәм меншикли функцияларды табыңыз.

**Шешими.**

$$k^2 = \frac{2mE}{\hbar^2} \quad \text{хәм} \quad \lambda = \frac{m\omega}{\hbar} \quad (30.2)$$

белгилеўлерин киргизиў арқалы Шредингер теңлемесин былайынша жазыўға болады

$$\frac{d^2 u}{dx^2} + (k^2 - \lambda^2 x^2) u = 0. \quad (30.3)$$

Бул дифференциаллық теңлемениң шешимлери  $|x| \gg k/\lambda$  шәрти орынланғанда  $\exp(\pm 1/2 \lambda x^2)$  нызамы бойынша өзгереди. Егер

$$u(x) = e^{-1/2 \lambda x^2} v(x) \quad (30.4)$$

деп есаплап экспонентаны  $u(x)$  функциясынан айырып алатуғын болсақ, онда

$$v'' - 2\lambda x v' + (k^2 - \lambda) v = 0 \quad (30.5)$$

теңлемесин қанаатландыратуғын  $v(x)$  функциясы полином болады ямаса  $e^{\lambda x^2}$  функциясына пропорционал болады. (30.5)-теңлемени

$$v(x) = \sum_{j=0}^{\infty} a_j x^j \quad (30.6)$$

қатарға жайыўының жәрдемінде шешип

$$a_{j+2} = \frac{\lambda(2j+1) - k^2}{(j+2)(j+1)} a_j \quad (30.7)$$

рекуррентли қатнасын аламыз.

$j \rightarrow \infty$  шегинде  $e^{\lambda x^2}$  функциясын дәреже бойынша қатарға жайыўға сәйкес келетуғын  $a_{j+2} = (2\lambda/j) a_j$  асимптоталық қатнасы орын алады. Солай етип егер (30.6)-қатары ең ақырғы ағзада үзилiske түспейтуғын болса (30.4) шешимин нормировкалаўға болмайды екен. Ал (30.6)-қатардың ең ақырғы ағзада үзилiske түсийи  $a_{n+2} = 0$  болғанда, яғный

$$k^2 = \lambda(2n+1)$$

теңлиги орынланғнада орын алады. Бул жағдайда (30.2)-аңлатпаға сәйкес

$$E = \hbar\omega \left( n + \frac{1}{2} \right), \quad n = 0, 1, 2, \dots \quad (30.8)$$

аңлатпасына ийе боламыз.

$u_n(x)$  меншикли функцияларын (30.7)-қатнастың жәрдемінде алыўға ҳәм

$$\int_{-\infty}^{\infty} u_n^2(x) dx = 1 \quad (30.9)$$

шәрти менен нормировкалаў мүмкин.

Дәслепки меншикли функциялардың бир қаншасы төменде келтирилген:

$$\begin{aligned} u_0 &= C_0 e^{-1/2 \lambda x^2}, \\ u_1 &= C_1 x e^{-1/2 \lambda x^2}, \\ u_2 &= C_2 (1 - 2\lambda x^2) e^{-1/2 \lambda x^2}, \\ u_3 &= C_3 \left( x - \frac{2}{3} \lambda x^3 \right) e^{-1/2 \lambda x^2}, \\ u_4 &= C_4 \left( 1 - 4\lambda x^2 + \frac{4}{3} \lambda^2 x^4 \right) e^{-1/2 \lambda x^2}, \\ u_5 &= C_5 \left( x - \frac{4}{3} \lambda x^3 + \frac{4}{15} \lambda^2 x^5 \right) e^{-1/2 \lambda x^2}, \end{aligned} \quad (30.10)$$

ал сәйкес нормировкалаў коэффициентлери төменде келтирилген:

$$\begin{aligned} C_n &= \left( \frac{\lambda}{\pi} \right)^{1/4} c_n, \quad c_0 = 1, \quad c_1 = \sqrt{2\lambda}, \quad c_2 = \frac{1}{\sqrt{2}}, \\ c_3 &= \sqrt{3\lambda}, \quad c_4 = \sqrt{\frac{3}{8}}, \quad c_5 = \sqrt{\frac{15\lambda}{4}}. \end{aligned} \quad (30.11)$$

Ең дәслепки үш меншикли функциялар 19-сүўретте көрсетилген.

Меншикли функциялардың анық жуплыққа ийе болатуғынлығын аңсат көриўге болады. Потенциалдың симметрияға ийе болуының себебинен  $V(-x) = V(x)$  шәрти орныланады, ал  $u_n(-x)$  функциясы  $u_n(x)$  функциясы менен бир қатарда дифференциал теңлемениң тап сол (30.8)-меншикли мәниске сәйкес келетуғын шешими болып табылады. Айныў (вырождение) болмағанлықтан сол еки шешим бир биринен тек турақлы  $f$  көбейтиўши менен ғана айрылады. Усының менен бирге нормировка шәртинен  $|f|^2 = 1$  теңлигине ийемиз.  $x$  тың белгисин және бир рет өзгертсек биз дәслепки шешимге қайтып келемиз, сонлықтан  $f^2 = 1$  ямаса  $f = \pm 1$ . Демек қәлеген меншикли функция я жуп, я тақ болады деген сөз.

Егер (30.5)-теңлемеге  $x$  тың орнына

$$y = \lambda x^2 \quad (30.12)$$

жаңа өзгериўшисин киргизсек бул факттиң дурыслығын тиккелей тексерип көриўге болады. Бул жағдайда  $v(y)$  функциясы

$$y v'' + \left( \frac{1}{2} - y \right) v' + \left( \frac{k^2}{4\lambda} - \frac{1}{4} \right) v = 0$$

түріндегі айныған гипергеометриялық функция үшін дифференциал теңлемени қанаатландырады. Егер

$$a = \frac{1}{4} - \frac{k^2}{4\lambda} = \frac{1}{4} - \frac{E}{2\hbar\omega} \quad (30.13)$$

түріндегі белгилеуді қабыл етсек бұл теңлемениң улыымалық шешими

$$v = A {}_1F_1\left(a, \frac{1}{2}; y\right) + By^{1/2} {}_1F_1\left(a + \frac{1}{2}, \frac{3}{2}; y\right) \quad (30.14)$$

түрінде болады. Айныған геометриялық қатар (вырожденный геометрический ряд)  ${}_1F_1$  пүтин функция болғанлықтан (30.14)-шешимдегі  $x$  өзгеріушісіне қатнасы бойынша биринши қосылыушы жуп, ал екінши қосылыушы тақ.  $y \rightarrow \infty$  шегінде еки қосылыушыда  $e^y y^{a-1/2}$  сыяқлы тарқалады хәм егер қатарлар жоғалмаса хәм үзиліске түспесе шешимди нормировкалауға болмайды. Биринши аргументи пүтин терис санға тең болса гипергеометриялық қатар үзіледі. Сонлықтан бизде еле де еки мүмкиншилик бар. Егер

$$a = -n \text{ ямаса } E_{2n} = \hbar\omega \left(2n + \frac{1}{2}\right) \quad (30.15a)$$

болса биринши қатар үзіледі хәм меншикли функциялар үшін

$$u_{2n}(x) = A {}_1F_1\left(-n, \frac{1}{2}; \lambda x^2\right) e^{-1/2 \lambda x^2} \quad (30.16a)$$

функциясын аламыз.

Егер

$$a + \frac{1}{2} = -n \text{ ямаса } E_{2n+1} = \hbar\omega \left(2n + \frac{3}{2}\right) \quad (30.15b)$$

болса, онда екінши қатар үзіледі хәм меншикли функция мынаған тең болады:

$$u_{2n+1}(x) = Bx {}_1F_1\left(-n, \frac{3}{2}; \lambda x^2\right) e^{-1/2 \lambda x^2}. \quad (30.16b)$$

Бұл нәтийжелер меншикли мәнислер үшін алынған (30.8)- хәм меншикли функциялар үшін алынған (30.10)-формула менен толық сәйкесликке ийе.

(30.16a)- хәм (30.16b)-теңликлер менен алынған көп ағзалыларды Эрмит полиномлары деп атайды. Айныған гипергеометриялық функция менен олар

$$\begin{aligned} H_{2n}(\xi) &= (-1)^n \frac{(2n)!}{n!} {}_1F_1\left(-n, \frac{1}{2}; \xi^2\right), \\ H_{2n+1}(\xi) &= (-1)^n \frac{(2n+1)!}{n!} 2\xi {}_1F_1\left(-n, \frac{3}{2}; \xi^2\right) \end{aligned} \quad (30.17)$$

қатнастары менен байланысқан. Усының менен бир қатарда және

$$H_n(\xi) = (-1)^n e^{\xi^2} \frac{d^n e^{-\xi^2}}{d\xi^n} \quad (30.18)$$

формуласы орын алады.

Солай етип улыўма жағдайда нормировкаланған меншикли функциялар [(30.9)-аңлатпаға қараңыз]

$$u_n(x) = \left( \frac{1}{2^n n!} \sqrt{\frac{\lambda}{\pi}} \right)^{1/2} H_n(\sqrt{\lambda} x) e^{-1/2 \lambda x^2} \quad (30.19)$$

түрине ийе болады.

(30.19)-формула бойынша нормировканы есаплаў ушын төмендегидей қағыйдадан пайдаланамыз. Меншикли функцияны

$$u_n = C_n e^{-1/2 \xi^2} H_n(\xi); \quad \xi = \sqrt{\lambda} x$$

түрінде жазамыз. Бундай жағдайда (30.9)-шәртке байланыслы

$$C_n^2 \int_{-\infty}^{\infty} e^{-\xi^2} [H_n(\xi)]^2 d\xi = \sqrt{\lambda}$$

теңлигиниң орынланыўы керек. Енди  $H_n(\xi)$  полиномларының бирин оның (30.18)-аңлатпасы менен алмастырамыз. Буннан кейин алынған

$$(-1)^n C_n^2 \int_{-\infty}^{\infty} H_n(\xi) \frac{d^n e^{-\xi^2}}{d\xi^n} d\xi = \sqrt{\lambda}$$

аңлатпасын бөлеклерге бөлип  $n$  рет интегралласақ ең ақырында

$$C_n^2 \int_{-\infty}^{\infty} e^{-\xi^2} \frac{d^n H_n(\xi)}{d\xi^n} d\xi = \sqrt{\lambda}$$

аңлатпасын аламыз.  $H_n(\xi)$  шамасы  $\xi$  ге қарата  $n$ -дәрежели көп ағзалы болғанлықтан  $n$  рет интеграллағаннан кейин  $\xi$  диң тек ең жоқарғы дәрежесиниң үлеси сақланып қалады:

$$H_n(\xi) = (2\xi)^n + \dots,$$

яғный

$$\frac{d^n H_n(\xi)}{d\xi^n} = 2^n n!$$

хәм (30.19)-формула менен толық сәйкес келетуғын

$$C_n^2 \cdot 2^n n! \sqrt{\pi} = \sqrt{\lambda}$$

аңлатпасына ийе боламыз.



### 37-мәселе. Потенциал текше (потенциальная ступенька)

$$V(x) = \frac{1}{2} V_0 \left( 1 + \operatorname{th} \frac{x}{2a} \right) \quad (37.1)$$

потенциал текшесиниң майданындағы шағылыстырыў коэффициентин анықлаңыз.

**Шешими.** Биз қарап атырған потенциал  $x = -\infty$  ноқатында  $V=0$  ден  $x = +\infty$  ноқатында  $V=V_0$  ге шекем өседі. Усындай өсиўдиң барысында потенциалдың ең күшли өсиўи  $-2a < x < 2a$  интервалында жүзеге келеди:

$$V(-2a) = 0,119V_0 \text{ хәм } V(+2a) = 0,881V_0. \quad (37.2)$$

Шеп тәрәптен келип түсиўши толқынды тәрийиплейтуғын толқын функциясы

$$u = \begin{cases} e^{ikx} + Re^{-ikx}, & x \rightarrow -\infty \text{ шегинде} \\ Ce^{-Kx}, & \text{егер } x \rightarrow +\infty \text{ шегинде } E < V_0, \\ Ce^{ik'x}, & \text{егер } x \rightarrow +\infty \text{ шегинде } E > V_0 \end{cases} \quad (37.3)$$

асимптоталық түрге ийе болыўы керек.

$|R|^2$  шамасы биз излеп атырған шағылыстырыў коэффициентин болып табылады. Потенциал (37.1) болған

$$\frac{d^2u}{dx^2} + \left[ k^2 - \frac{2m}{\hbar^2} V(x) \right] u = 0 \quad (37.4)$$

Шредингер теңлемесин шешиў ушын  $x$  өзгериўшисиниң орнына жаңа

$$y = (1 + e^{x/a})^{-1} \quad (37.5)$$

өзгериўшисин пайдаланамыз. Буннан кейин

$$\kappa^2 = k^2 a^2 = \frac{2ma^2}{\hbar^2} E, \quad \lambda^2 = \frac{2ma^2}{\hbar^2} V_0 \quad (37.6)$$

белгилеўлерин пайдаланып хәм

$$\frac{d}{dx} = -\frac{1}{a} y(1-y) \frac{d}{dy}, \quad 1 + \operatorname{th} \frac{x}{2a} = 2(1-y)$$

екенлигин есапқа алып

$$y(1-y) \frac{d^2u}{dy^2} + (1-2y) \frac{du}{dy} + \left[ \frac{\kappa^2}{y(1-y)} - \frac{\lambda^2}{y} \right] u = 0 \quad (37.6)$$

теңлемесин аламыз.

**Ескертиў:** (37.6) түриндеги теңлемени хәзирги заман программаластырыў тиллеринде аналитикалық жоллар менен аңсат шешиў мүмкин. Мысалы Mathematica 7 for students тилин пайдаланғанда шегаралық шәртлерди бермей теңлемени шешиў ушын

$$\text{DSolve}[y * (1 - y) * u''[y] + (1 - 2y) * u'[y] + (\frac{k^2}{y * (1 - y)} - \frac{\lambda^2}{y}) * u[y] == 0, u[y], y]$$

түріндегі аңлатпа жазылады. Ал компьютер мынадай шешімді береді:

$$u[y] \rightarrow -1^{-2} \frac{\sqrt{-k^2 + \lambda^2}}{e^{\frac{1}{2}(-\text{Log}[-1+y] - \text{Log}[y])}} \frac{-1+y}{2}^{1-2ik} y^{1+\frac{1}{2}}^{-1-2} \frac{\sqrt{-k^2 + \lambda^2}}{C} {}_2F_1[-ik - \frac{\sqrt{-k^2 + \lambda^2}}{2}, 1 - ik - \frac{\sqrt{-k^2 + \lambda^2}}{2}, 1 - 2 \frac{\sqrt{-k^2 + \lambda^2}}{2}, y] + e^{\frac{1}{2}(-\text{Log}[-1+y] - \text{Log}[y])} (-1+y)^{\frac{1}{2}(1-2ik)} y^{\frac{1}{2}(1+2 \frac{\sqrt{-k^2 + \lambda^2}}{2})} C[1] {}_2F_1[-ik + \frac{\sqrt{-k^2 + \lambda^2}}{2}, 1 - ik + \frac{\sqrt{-k^2 + \lambda^2}}{2}, 1 + 2 \frac{\sqrt{-k^2 + \lambda^2}}{2}, y]$$

Жоқарыда (37.6) түріндегі теңлемнің шешімінде Hypergeometric функцияның пайда болатуғынлығы көриніп тур. Екіншіден қазіргі заман компьютерлерін қолланғанда квантлық механиканың мәселелерінің аңсат хәм тез шешилетуғынлығы айқын көринеді.

(37.6)-дифференциаллық теңлеме үш айрықша ноқатқа ийе болады:  $y = 0, 1, \infty$  хәм сонлықтан оның шешими гипергеометриялық функция арқалы аңлатылады.

$$u(y) = y^v (1-y)^\mu f(y) \quad (37.7)$$

подстановкасының жәрдемінде, бул подстановкада

$$v^2 = \lambda^2 - \kappa^2, \quad \mu^2 = -\kappa^2, \quad (37.8)$$

(37.6)-теңлеме қурамалы емес түрлендіріулерден кейін стандарт формадағы Гаустың гипергеометриялық теңлемесіне алып келинеді:

$$y(1-y)f'' + [(2v+1) - (2\mu+2v+2)y]f' - (\mu+v)(\mu+v+1)f = 0. \quad (37.9)$$

Биз қазір бул теңлемнің

$$f(y) = C {}_2F_1(\mu+v, \mu+v+1, 2v+1; y) \quad (37.10)$$

дара шешімінің C коэффициентін сәйкес түрде сайлап алғанда (37.2)-шегаралық шәрті қанаатландыратуғынлығын көрсетеміз.

$x \rightarrow +\infty$  шегінен баслаймыз. Бундай шекте  $y \approx e^{-x/a} \rightarrow 0$  хәм усыған сәйкес (37.10)-шешими  $f(0) = C$  теңлигине умтылады. Сонлықтан

$$u(y) \rightarrow Cy^v \approx Ce^{-vx/a}, \quad (37.11)$$

Енді екі мүмкіншілікті бір бирінен айырыу керек.

а)  $\lambda > \kappa$ ,  $v$ —хақыйқый сан хәм нолден үлкен. Бул жағдайда (37.11)-аңлатпа экспоненциаллық нызам бойынша кемейеді ( $E < V_0$  теңсізлігі орынланғанда усындай болыуы керек). Солай етип

$$u \rightarrow Ce^{-Kx} \text{ хәм } K^2 = \frac{v^2}{a^2} = \frac{2m}{\hbar^2} (V_0 - E) \quad (37.12a)$$

екенлигине ийе боламыз.

б)  $\lambda < \kappa$ ,  $\nu = -ik'a$  — таза жормал сан. Бундай жағдайда

$$u \rightarrow C e^{ik'x} \text{ хәм } k'^2 = \frac{2m}{\hbar^2} (E - V_0). \quad (37.126)$$

Екинши тәрәптен  $y \rightarrow 1$  шегинде  $x \rightarrow -\infty$  хәм  $1 - y \approx e^{x/a} \rightarrow 0$  екенлигин есапқа алғанда  $y$  аргументине ийе гипергеометриялық функцияны  $1 - y$  аргументине ийе гипергеометриялық функцияға түрлендириўдиң жақсы белгили болған қағыйдасын пайдаланыўға болады:

$$\begin{aligned} {}_2F_1(\mu + \nu, \mu + \nu + 1, 2\nu + 1; y) = \\ = \frac{\Gamma(2\nu + 1) \Gamma(-2\mu)}{\Gamma(\nu - \mu) \Gamma(\nu - \mu + 1)} {}_2F_1(\mu + \nu, \mu + \nu + 1, 2\mu + 1; 1 - y) + \\ + (1 - y)^{-2\mu} \frac{\Gamma(2\nu + 1) \Gamma(2\mu)}{\Gamma(\mu + \nu) \Gamma(\mu + \nu + 1)} {}_2F_1(\nu - \mu, \nu - \mu + 1, -2\mu + 1; 1 - y). \end{aligned}$$

$1 - y = e^{x/a}$  теңлигин есапқа алсақ бул

$$u \rightarrow C \left\{ \frac{\Gamma(2\nu + 1) \Gamma(-2\mu)}{\Gamma(\nu - \mu) \Gamma(\nu - \mu + 1)} e^{\mu x/a} + \frac{\Gamma(2\nu + 1) \Gamma(2\mu)}{\Gamma(\mu + \nu) \Gamma(\mu + \nu + 1)} e^{-\mu x/a} \right\}$$

аңлатпасын береди.

$$\mu = i\kappa, \quad \frac{\mu}{a} = ik \quad (37.13)$$

орнына қойыўынан кейин

$$C = \frac{\Gamma(\nu - \mu) \Gamma(\nu - \mu + 1)}{\Gamma(2\nu + 1) \Gamma(-2\mu)} \quad (37.14)$$

хәм

$$R = \frac{\Gamma(+2\mu) \Gamma(\nu - \mu) \Gamma(\nu - \mu + 1)}{\Gamma(-2\mu) \Gamma(\nu + \mu) \Gamma(\nu + \mu + 1)} \quad (37.15)$$

деп қабыл етсек бизиң шешимимиздиң формасы бойынша (37.2)-аңлатпа менен сәйкес келетуғынлығын көриўге болады.

Енди және де еки мүмкиншиликти бир биринен айырыў керек болады:

$$E > V_0 \text{ хәм } E < V_0.$$

а)  $E < V_0$ ,  $\mu = i\kappa$  — таза жормал сан,  $\nu$  ҳақыйқый сан хәм нолден үлкен. (37.15) бөлшегиниң алымы да, бөлими де комплексли түйинлес шамалардан ибарат. Сонлықтан

$$|R|^2 = 1,$$

яғный толық шағылысыў орын алады.

б)  $E > V_0$ ,  $\mu = i\kappa$  хәм  $\nu = -i\sigma$  шамалары таза жормал шамалар. Енди  $\Gamma(\pm 2\mu)$  көбейтиўшилери ғана комплексли түйинлес шамалар болады, олар шағылысыў (шағылыстырыў) коэффициенти  $|R|^2$  шамасына үлес қоспайды. Буннан

кейін

$$\Gamma(z) = \frac{1}{z} \Gamma(z+1)$$

болғанлықтан

$$|R|^2 = \left| \frac{(\nu + \mu) \Gamma^2(\nu - \mu + 1)}{(\nu - \mu) \Gamma^2(\nu + \mu + 1)} \right|^2 = \left( \frac{\kappa - \sigma}{\kappa + \sigma} \right)^2 \left[ \left| \frac{\Gamma(1 - i(\kappa + \sigma))}{\Gamma(1 + i(\kappa - \sigma))} \right|^2 \right]^2.$$

Енді

$$|\Gamma(1 + i\eta)|^2 = \frac{\pi\eta}{\operatorname{sh} \pi\eta}$$

элементар формуласынан пайдаланыу мүмкін. Шағылыстырыу (шағылысыу) коэффициенті үшін ең ақырында мынадай формуланы аламыз:

$$|R|^2 = \left[ \frac{\operatorname{sh} \pi(\kappa - \sigma)}{\operatorname{sh} \pi(\kappa + \sigma)} \right]^2 \quad (37.16)$$

ямаса

$$|R|^2 = \left[ \frac{\operatorname{sh} \pi(k - k')a}{\operatorname{sh} \pi(k + k')a} \right]^2. \quad (37.17)$$

Бұл аңлатпаларда  $k$  хәм  $k'$  арқалы потенциал текшениң сәйкес шеп хәм оң тәреплеріндегі толқынлық санлар белгиленген.

### Қосымша мәселелер

Сызықты оператор деп төмендегідей қасиетлерге ийе операторларға айтамыз:

1.  $\hat{F}(\psi + \varphi) = \hat{F}\psi + \hat{F}\varphi,$
2.  $\hat{F}(\alpha\psi) = \alpha\hat{F}\psi.$

(1.1)

Мүмкін болған операторлардың айырымларын қараймыз. Квадратқа көтеріу операторы:

$$\hat{Q}\psi = \psi^2. \quad (1.2)$$

Дифференциаллау операторы  $\hat{D} = \frac{d}{dx}$ :

$$\hat{D}\psi(x) = \frac{d}{dx} \psi(x) = \psi'(x). \quad (1.3)$$

Инверсия операторы  $\hat{I}$

$$\hat{I}\psi(x) = \psi(-x). \quad (1.4)$$

Бөлекшениң радиус-векторы операторы  $\hat{\mathbf{r}}$

$$\hat{\mathbf{r}}\psi(\mathbf{r}) = \mathbf{r}\psi(\mathbf{r}), \quad (1.5)$$

ал бөлекшениң улыўмаласқан импульси  $\mathbf{P}$  ға  $\hat{\mathbf{P}}$  операторы

$$\hat{\mathbf{p}}\psi(\mathbf{r}) = -i\hbar\nabla\psi(\mathbf{r}), \quad (1.6)$$

бул аңлатпада  $i$  арқалы жормал бирлик,  $\hbar$  арқалы Планк турақлысы,  $\nabla$  арқалы Гамильтонның «набла» деп аталатуғын дифференциаллық операторы белгиленген:

$$\nabla\psi(\mathbf{r}) = \frac{\partial\psi(\mathbf{r})}{\partial x}\mathbf{e}_x + \frac{\partial\psi(\mathbf{r})}{\partial y}\mathbf{e}_y + \frac{\partial\psi(\mathbf{r})}{\partial z}\mathbf{e}_z.$$

Бул жерде  $x, y, z$  арқалы декарт координаталары, ал  $\mathbf{e}_x, \mathbf{e}_y, \mathbf{e}_z$  арқалы сәйкес  $x, y, z$  көшерлериниң ортлары белгиленген.

**1.1-мәселе.** (1.1)-(1.6) операторларының сызықлы екенлигин тексерип көриңиз. Шешими: Оператордың сызықлы ямаса сызықлы емес екенлигин анықлау үшін

1.  $\hat{F}(\psi + \varphi) = \hat{F}\psi + \hat{F}\varphi,$
2.  $\hat{F}(\alpha\psi) = \alpha\hat{F}\psi.$

шәртлерин қанаатландыратуғынлығын ямаса қанаатландырмайтуғынлығын тексерип көриу зәрүр. Квадратқа көтеріу операторының сызықлы екенлигин тексерип көриу үшін  $\hat{Q}$  операторы менен  $\psi$  хәм  $\varphi$  функцияларына тәсир етеміз:

$$\hat{Q}(\psi + \varphi) = (\psi + \varphi)^2 = \psi^2 + \varphi^2 + 2\psi\varphi \neq \psi^2 + \varphi^2 = \hat{Q}\psi + \hat{Q}\varphi.$$

Соның ушын бул оператор сызықлы оператор болып табылады.

Басқа операторлардың барлығы да сызықлы. Ҳақыйқатында да

$$\begin{aligned} \hat{D}(\psi + \varphi) &= \frac{d}{dx}\psi + \frac{d}{dx}\varphi = \hat{D}\psi + \hat{D}\varphi, \quad \hat{D}\alpha\psi = \frac{d}{dx}(\alpha\psi) = \alpha\frac{d}{dx}\psi = \alpha\hat{D}\psi; \\ \hat{I}(\psi(x) + \varphi(x)) &= \psi(-x) + \varphi(-x) = \hat{I}\psi(x) + \hat{I}\varphi(x), \quad \hat{I}\alpha\psi(x) = \alpha\psi(-x) = \alpha\hat{I}\psi(x); \\ \hat{\mathbf{r}}(\psi + \varphi) &= \mathbf{r}(\psi + \varphi) = \mathbf{r}\psi + \mathbf{r}\varphi = \hat{\mathbf{r}}\psi + \hat{\mathbf{r}}\varphi, \quad \hat{\mathbf{r}}(\alpha\psi) = \alpha\mathbf{r}\psi = \alpha\hat{\mathbf{r}}\psi; \\ \hat{\mathbf{p}}(\psi + \varphi) &= -i\hbar\nabla(\psi + \varphi) = -i\hbar\nabla\psi - i\hbar\nabla\varphi = \hat{\mathbf{p}}\psi + \hat{\mathbf{p}}\varphi, \\ \hat{\mathbf{p}}(\alpha\psi) &= -i\hbar\nabla(\alpha\psi) = \alpha(-i\hbar\nabla\psi) = \alpha\hat{\mathbf{p}}\psi. \end{aligned}$$

**1.2-мәселе.**  $\hat{F} + \hat{G} = \hat{G} + \hat{F}$  теңлигиниң дурыс екенлигин дәлиллеңиз.

Шешими:  $\hat{F}$  хәм  $\hat{G}$  операторларының  $\hat{F} + \hat{G}$  суммасы деп  $\psi$  функциясына

$$(\hat{F} + \hat{G})\psi = \hat{F}\psi + \hat{G}\psi$$

қағыйдасы бойынша тәсир ететуғын операторға айтамыз. Сонлықтан

$$(\hat{F} + \hat{G})\psi = \hat{F}\psi + \hat{G}\psi = \hat{G}\psi + \hat{F}\psi = (\hat{G} + \hat{F})\psi$$

теңликлерин аламыз. Буннан  $\hat{F} + \hat{G} = \hat{G} + \hat{F}$  екенлигин аламыз.

**1.3-мәселе.** Координата операторларының бір бири менен коммутацияланатуғынлығын көрсетиңіз.

Шешими:  $[\hat{x}, \hat{y}]$  коомутаторының  $\psi$  функциясына тәсирин көреміз.

$$[\hat{x}, \hat{y}] \psi = \hat{x} \hat{y} \psi - \hat{y} \hat{x} \psi = xy\psi - yx\psi = 0$$

хәм буннан  $[\hat{x}, \hat{y}] = 0$  екенлиги табамыз.

**1.4-мәселе.** Импульс қураушылары операторларының бір бири менен коммутацияланатуғынлығын көрсетиңіз.

Шешими: Мысал ушын  $\hat{p}_x$  хәм  $\hat{p}_y$  операторларын алайық. Бундай жағдайда

$$\begin{aligned} [\hat{p}_x, \hat{p}_y] \psi &= (\hat{p}_x \hat{p}_y - \hat{p}_y \hat{p}_x) \psi = -\hbar^2 \left( \frac{\partial}{\partial x} \left( \frac{\partial \psi}{\partial y} \right) - \frac{\partial}{\partial y} \left( \frac{\partial \psi}{\partial x} \right) \right) = \\ &= -\hbar^2 \left( \frac{\partial^2 \psi}{\partial x \partial y} - \frac{\partial^2 \psi}{\partial y \partial x} \right). \end{aligned}$$

Аралас  $\frac{\partial^2 \psi}{\partial x \partial y}$  хәм  $\frac{\partial^2 \psi}{\partial y \partial x}$  туұындылары өз-ара тең болғанлықтан  $[\hat{p}_x, \hat{p}_y] = 0$ .

**1.5-мәселе.** Координата операторы менен басқа координатаға түсирилген проекцияның импульси операторы менен коммутацияланатуғынлығын көрсетиңіз.

Шешими: Мысал ретинде мына жағдайды қараймыз:

$$[\hat{x}, \hat{p}_y] \psi = \hat{x} \hat{p}_y \psi - \hat{p}_y \hat{x} \psi = -i\hbar \left( x \frac{\partial \psi}{\partial y} - \frac{\partial}{\partial y} (x\psi) \right) = -i\hbar \left( x \frac{\partial \psi}{\partial y} - x \frac{\partial \psi}{\partial y} \right) = 0,$$

демек  $[\hat{x}, \hat{p}_y] = 0$  екен.

**1.6-мәселе.**  $[\hat{x}, \hat{p}_x]$  коммутаторын табыңыз.

Шешими:  $[\hat{x}, \hat{p}_x]$  операторы менен  $\psi$  функциясына тәсир етип мынаны табамыз:

$$[\hat{x}, \hat{p}_x] \psi = \hat{x} \hat{p}_x \psi - \hat{p}_x \hat{x} \psi = -i\hbar \left( x \frac{\partial \psi}{\partial x} - \frac{\partial}{\partial x} (x\psi) \right) = -i\hbar \left( x \frac{\partial \psi}{\partial x} - x \frac{\partial \psi}{\partial x} - \psi \right) = i\hbar \psi$$

ямаса

$$[\hat{x}, \hat{p}_x] = i\hbar.$$

**1.7-мәселе.**  $[\hat{A}, \hat{B}\hat{C}] = \hat{B}[\hat{A}, \hat{C}] + [\hat{A}, \hat{B}]\hat{C}$  теңлигинің дурыс екенлигин дәлилдеңіз.

Шешими:

$$= \hat{B}[\hat{A}, \hat{C}] + [\hat{A}, \hat{B}]\hat{C}.$$

$$\begin{aligned}
 [\hat{A}, \hat{B}\hat{C}] &= \hat{B}\hat{A}\hat{C} - \hat{B}\hat{C}\hat{A} + \hat{A}\hat{B}\hat{C} - \hat{B}\hat{A}\hat{C} = \hat{B}(\hat{A}\hat{C} - \hat{C}\hat{A}) + (\hat{A}\hat{B} - \hat{B}\hat{A})\hat{C} = \\
 &= \hat{B}[\hat{A}, \hat{C}] + [\hat{A}, \hat{B}]\hat{C}.
 \end{aligned}$$

## Пайдаланылган әдебиятлар дизими

### Тийкарғы әдебият

Л.Д.Ландау, Е.М.Лифшиц. Курс теоретический физики. III том. Квантовая механика (нерелятивистская теория). 6-е издание. Физматлит. Москва. 2004. 800 с.

А.А.Соколов, И.М.Тернов, В.Ч.Жуковский. Квантовая механика. Издательство «Наука». Москва. 1979. 528 с.

А.С.Давыдов. Квантовая механика. 2-е издание. Издательство «Наука». Москва. 1973. 702 с.

Д.И.Блохинцев. Основы квантовой механики. Издательство «Наука». Москва. 1983. 664 с.

В.М.Галицкий, Б.М.Карнаков, В.И.Коган. Задачи по квантовой механике. Часть 1. Едиториал УРСС. Москва. 2001. 304 с.

В.М.Галицкий, Б.М.Карнаков, В.И.Коган. Задачи по квантовой механике. Часть 2. Едиториал УРСС. Москва. 2001. 304 с.

З.Флюгге. Задачи по квантовой механике. Том 1. Издательство «Мир». Москва. 1974. 342 с.

З.Флюгге. Задачи по квантовой механике. Том 2. Издательство «Мир». Москва. 1974. 316 с.

А.Қ.Ахметов. Квнаттық механикаға кириспе. Алматы. Ғылым баспасы. 2003.

### Қосымша әдебият

Л.Д.Ландау, Е.М.Лифшиц. Краткий курс теоретической физики. Книга 2. Квантовая механика. Издательство «Наука». Москва. 1972.

В.А.Фок. Начала квантовой механики. Издательство «Наука» Москва. 1976. 376 с.

Л.А.Головань, Е.А.Константинова, П.А.Форш. Задачи по квантовой механике для химиков. Москва. Физический факультет МГУ. 154 с.

Л.К.Мартинсон, Е.В.Смирнов. Квантовая физика. Москва. Издательство МГТУ имени Н.Э.Баумана. 2004. 496 с.

Қ.Қ.Қайырбаев. Кванттық механика негиздери. Павлодар. 2005.